

Fenêtres ouvertes par ALMA

Françoise Combes
Observatoire de Paris

PNG, 1er Avril 2008



ALMA et les galaxies



- ➔ Premières galaxies $z > 5$
sortie de l'âge sombre
- ➔ Histoire de la formation d'étoiles
- ➔ Matière noire des galaxies (évolution)
- ➔ SZ pour détecter les amas à tous z
- ➔ Exploration des systèmes d'absorption
+ galaxies proches, milieu interstellaire, etc..

Capacités d'ALMA

- ➔ 50 x 12m, bases de 200m à 14km, 3mm à 0.3mm
(facteur ~6 en surface par rapport à IRAM)
- ➔ 4 Bandes de fréquence au début
84-116 GHz, 211-275 GHz, 275-370 GHz, 602-720 GHz
Bande passante de 8GHz/polar

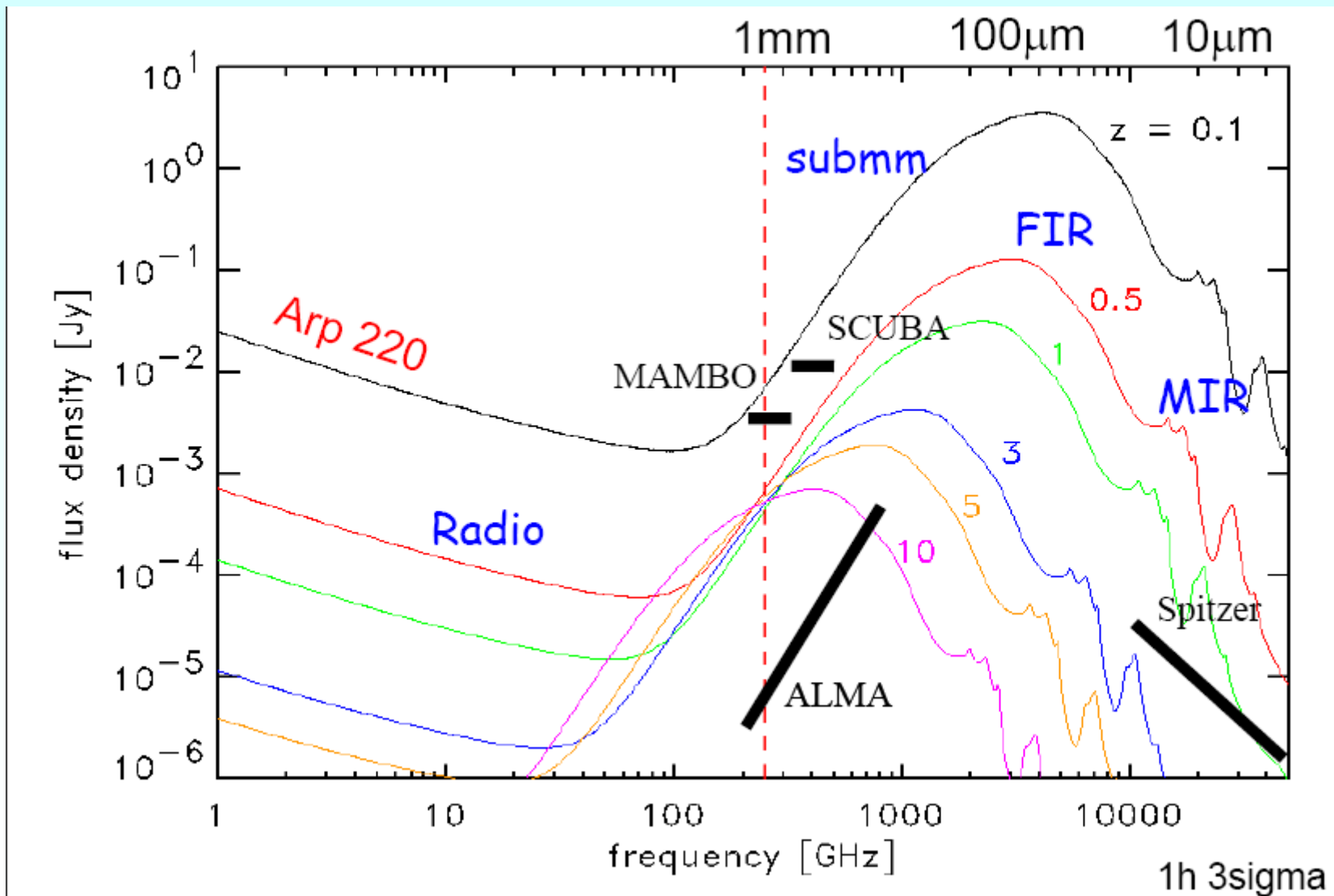
Résolution spatiale, jusqu'à 10mas,
Résolution spectrale jusqu'à $R=10^8$
Dynamique de 128x128 à 8192x8192 pixels

Petit Champ: de 1arcmin (3mm) à 6 arsec (0.3mm)
Possibilité de mosaïques

Early Science? En question **En 2012-3:** Full Operation

Intérêt du domaine mm/submm

Correction K négative: exemple de Arp 220



Galaxies à grand redshift

→ Pour les galaxies à grand z, les basses fréquences seront privilégiées

→ A 3mm (115GHz), champ de 1 arcmin x 1 arcmin
Le plus courant 300x 300 = 90 000 pixels/spectres
(idem pour PdB IRAM)

Bandé passante 2x 8GHz ~ 16%, ou ~50 000km/s

**Possibilité d'avoir plusieurs raies
de l'échelle de rotation de CO, ou autre molécule..**

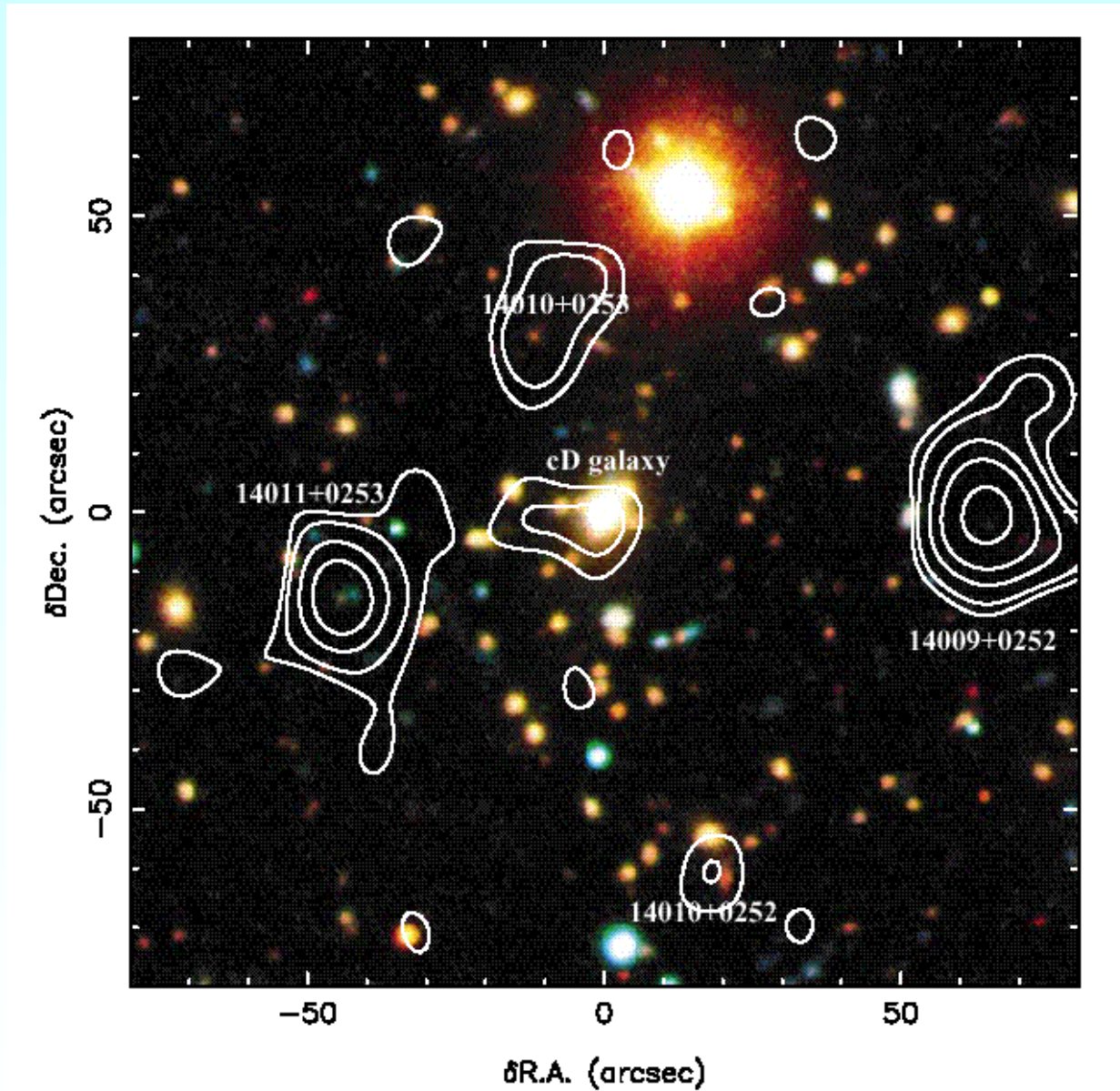
**@z =6, l'espacement entre raies de CO est de 16 GHz.
Avec 2 tunings, on obtient une « redshift-machine »**

Abell 1835, sources Scuba (Ivison et al 2000)

Beaucoup de sources
submm (0.85mm)
n'ont pas
de contreparties
optiques

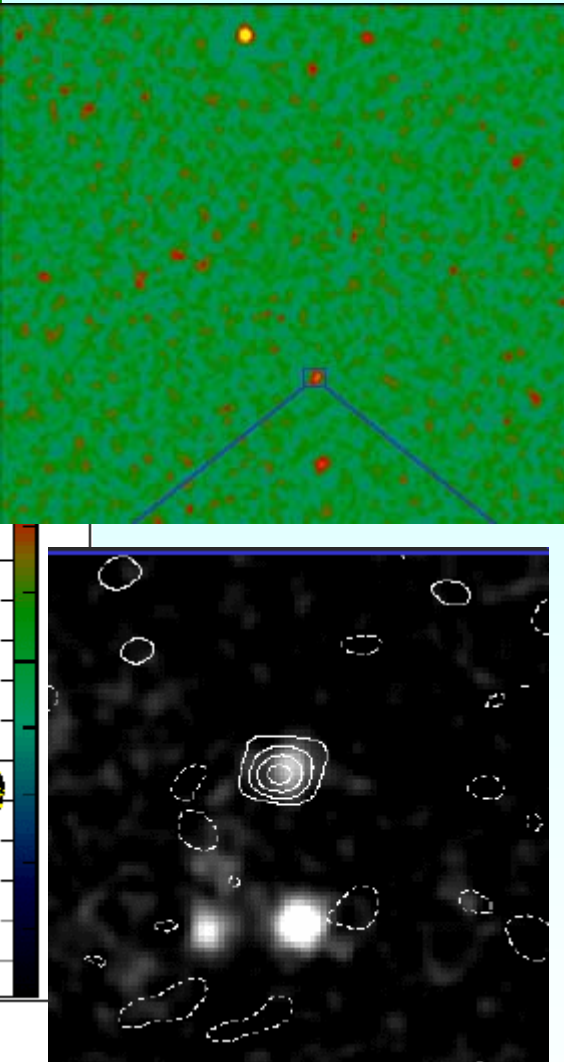
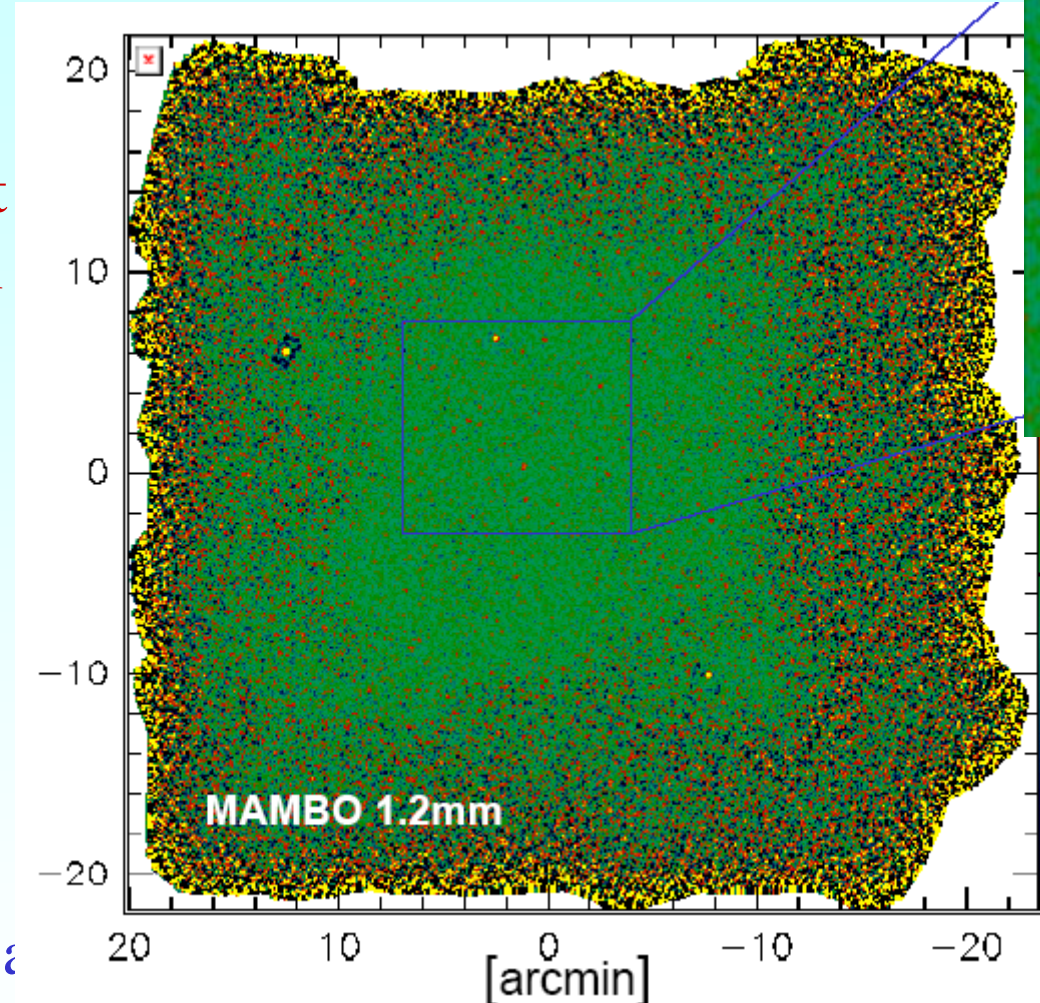
L'apport de plusieurs
longueurs d'ondes
est fondamental

MUSE +
JWST+ELT-30m
+ALMA



SCUBA ou MAMBO deep fields

Etat de l'art
aujourd'hui

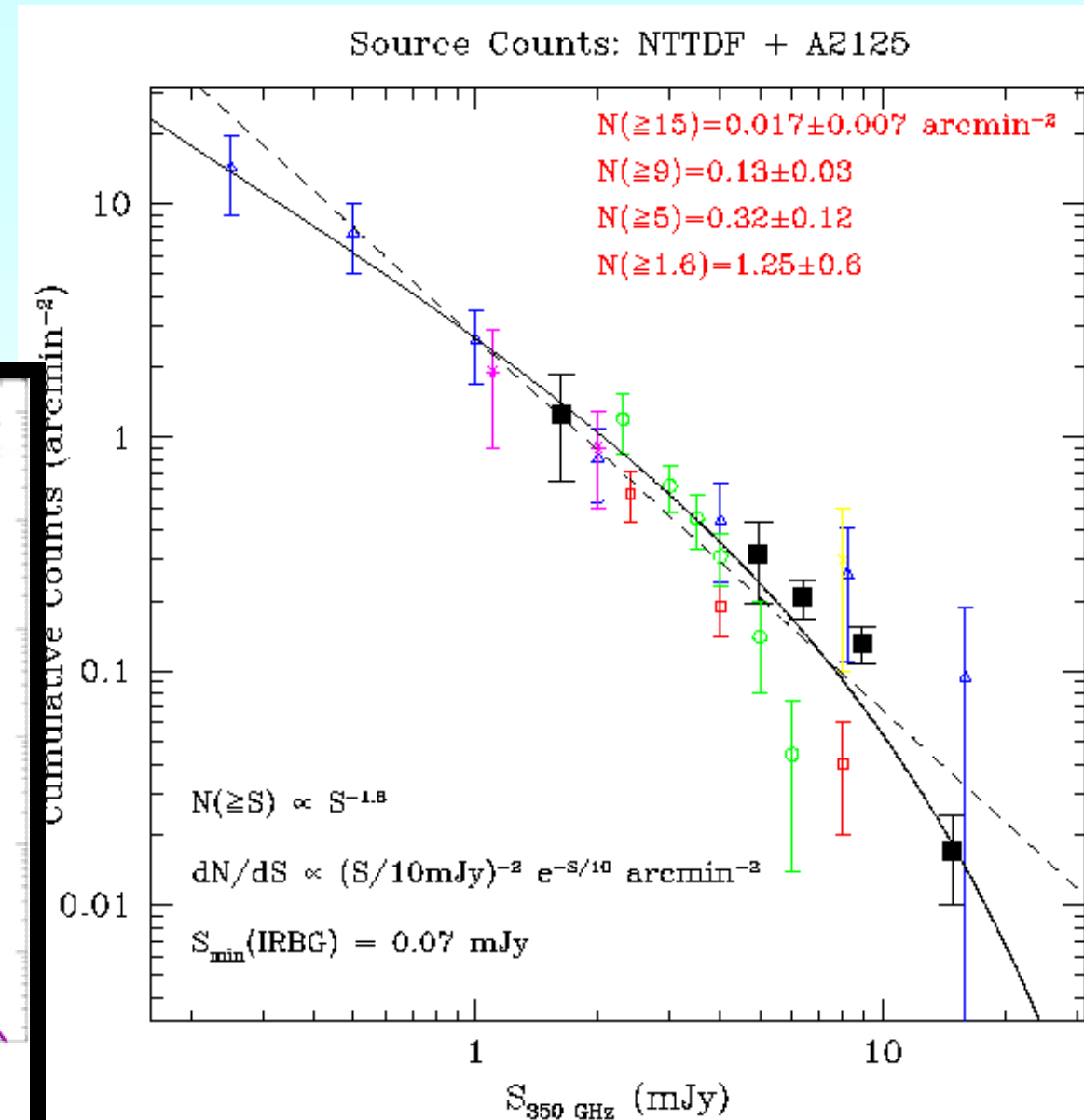
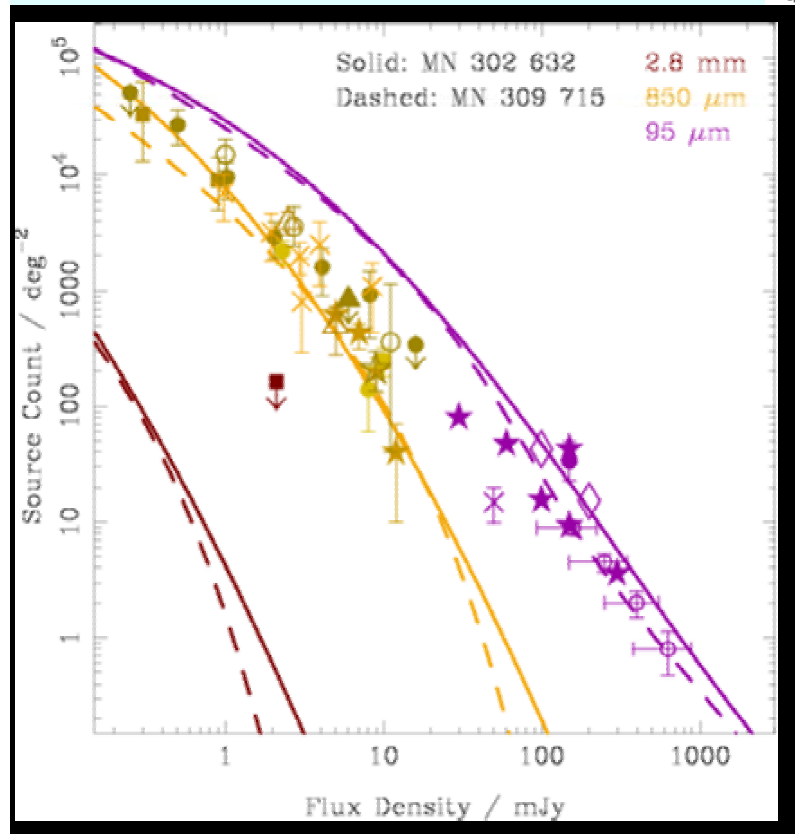


Bertoldi et al.
Mambo on
IRAM-30m 1.2mm

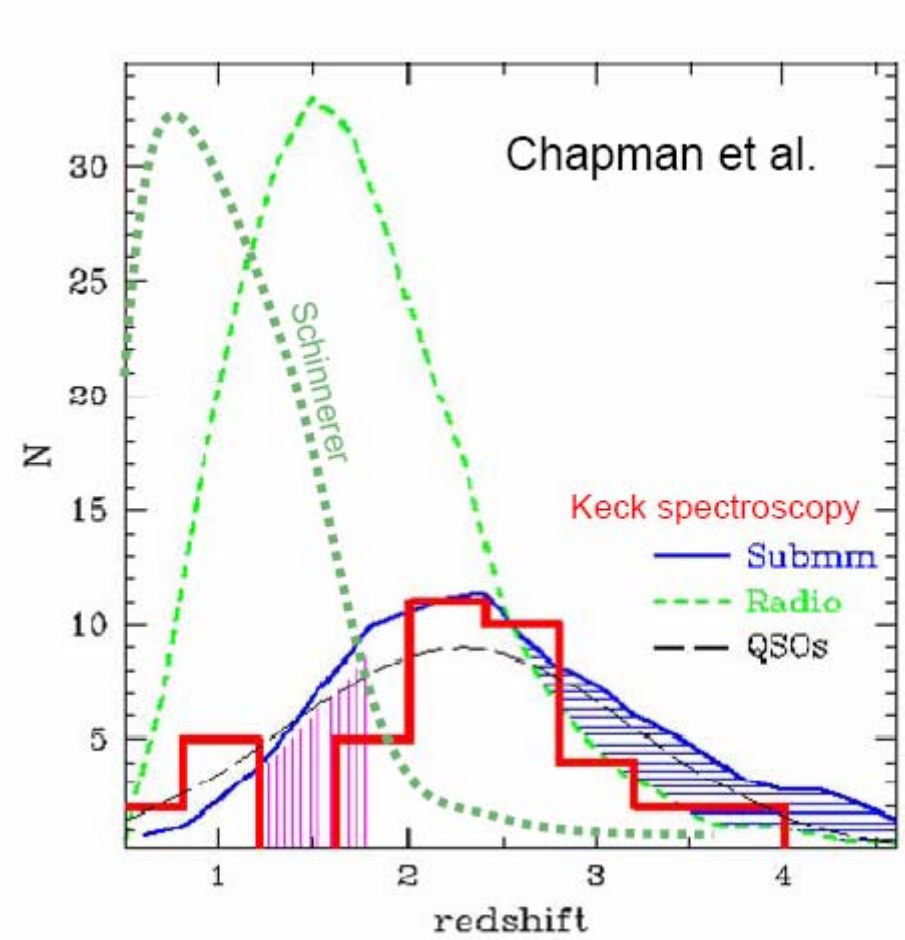
Surveys continuum mm

1-2 sources/ arcmin²
above 1 mJy

(e.g. Carilli et al. 2001,
Blain 2004)



Distribution of Identified sources



Chapman et al 2003, 2004

$z=1.5$ redshift desert

High-z: lack of
high mass sources

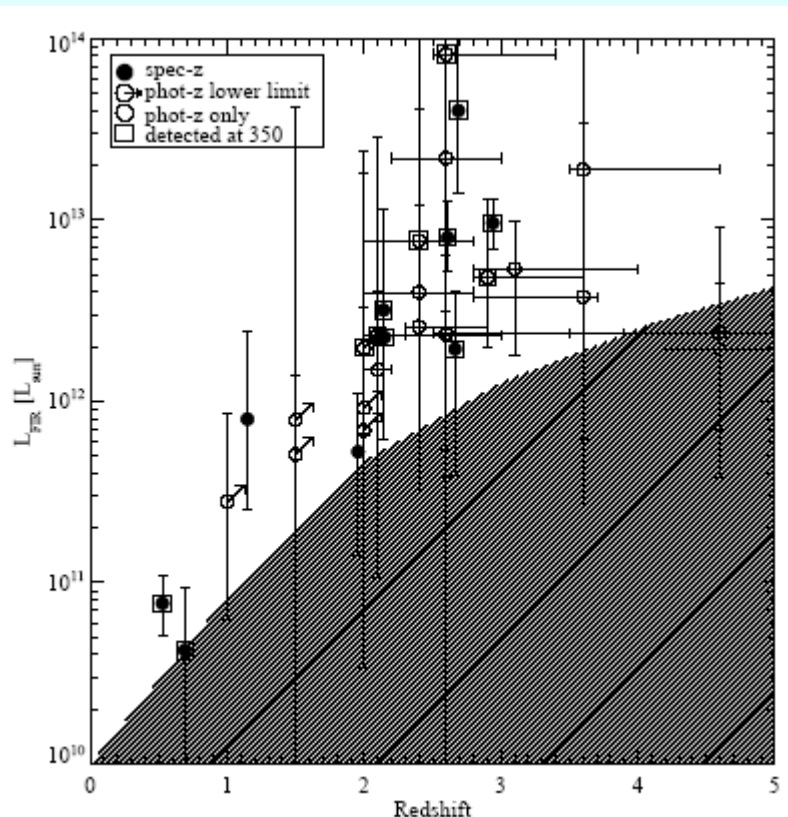
Identification due
to VLA radio sources,
and optical redshifts

*Radio selection introduces
bias against $z > 3$*

SHADES survey: 850 μ m and 350 μ m

Coppin et al 2008, follow up @ 350 μ m of 30 sources (rms 2mJy)
SCUBA Half Degree Survey (0.25 deg 2) → 120 SMGs detected

Typical z ~2-3, degeneracy column density – temperature



Average temperature 35K
 $L_{\text{FIR}} \gtrsim 10^{12} L_{\odot}$
SFR 400 Mo/yr

Luminosity evolution obvious

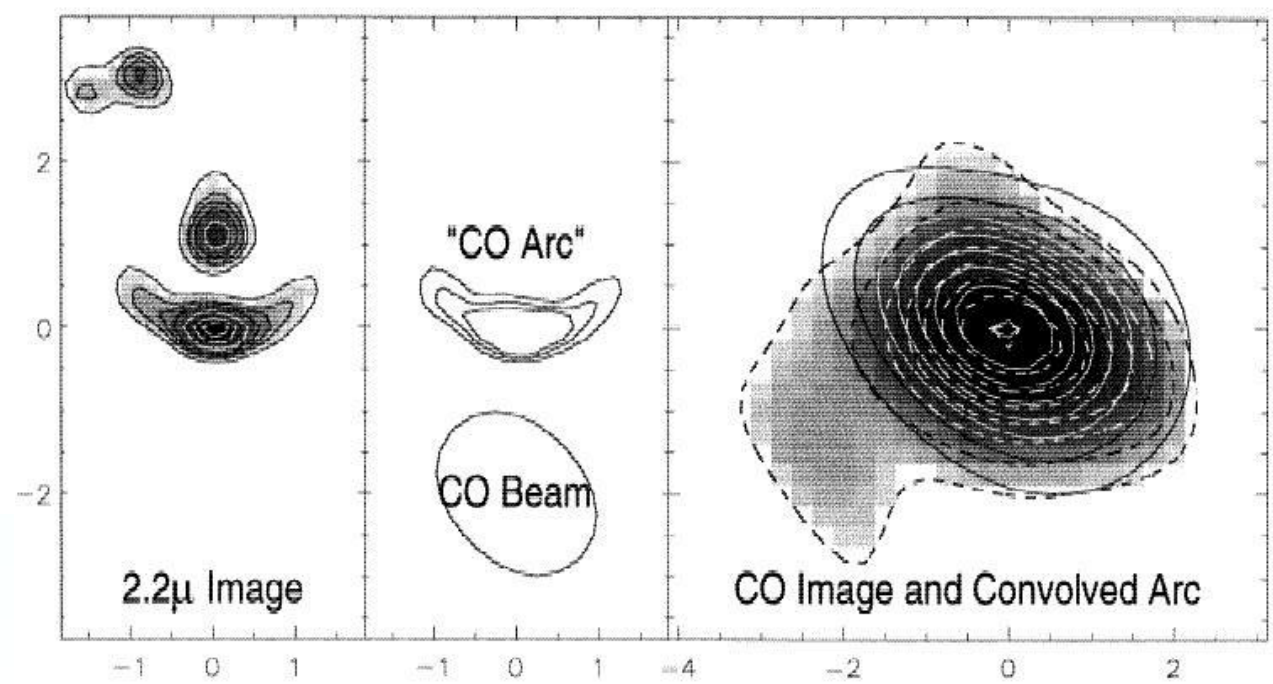
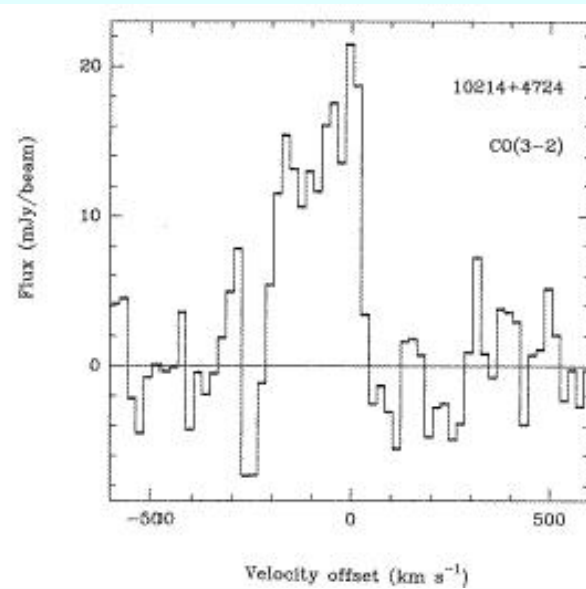
Not yet known whether SED evolution
or selection effects

Observations des raies CO

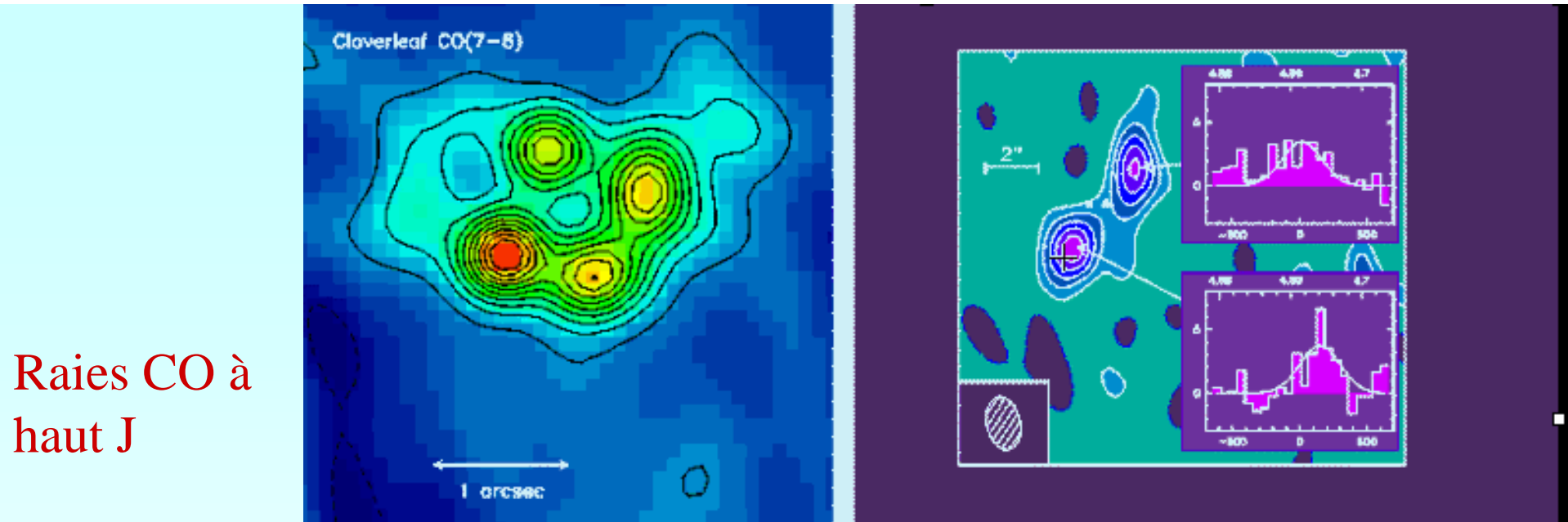
Emission CO: ~40 sources à gd z (2008)

1ère détection: Faint IRAS source

F10214+4724 à z=2.3 (Brown & van den Bout 92, Solomon et al 92)



Downes et al 95



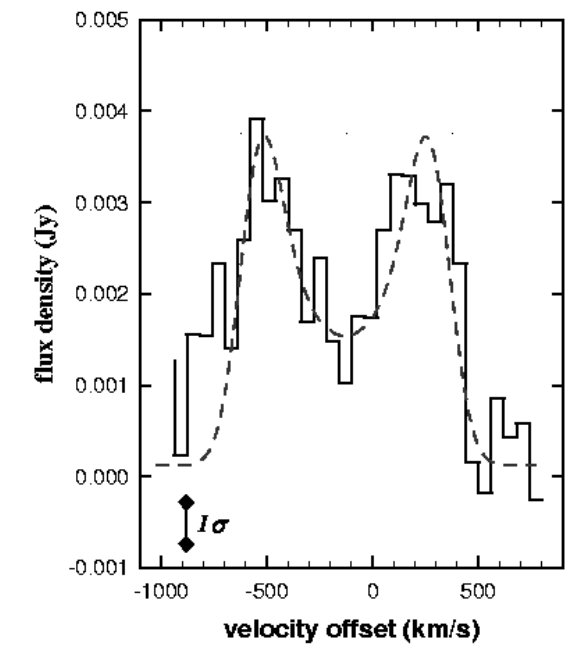
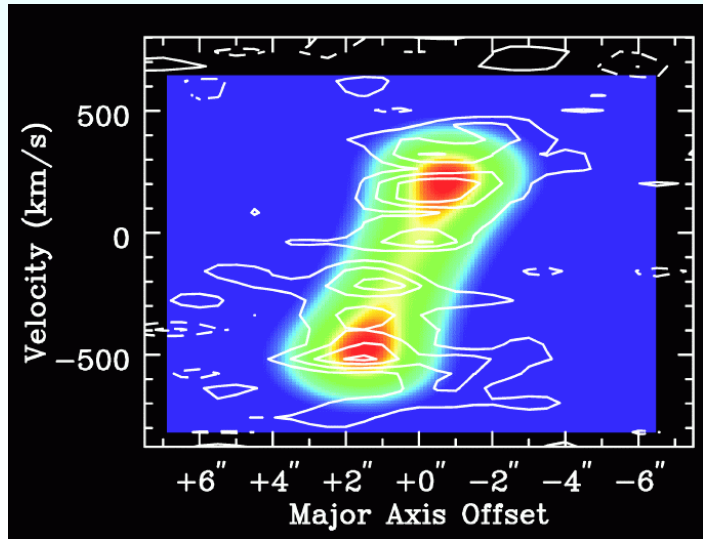
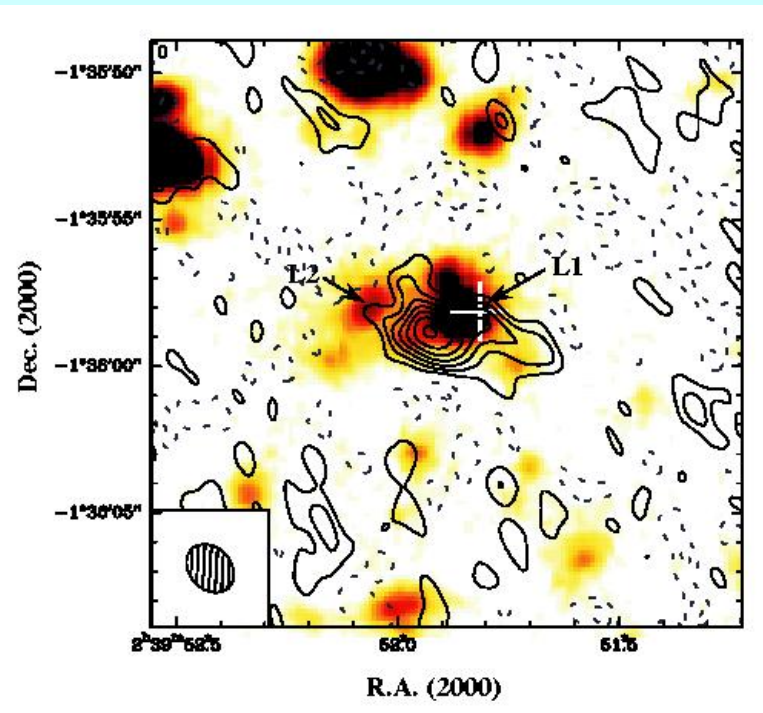
Avantage par
Rapport au HI
(hydrogène
atomique)

Plusieurs quasars ou objets ultra-lumineux IR ou submm,
avec amplification gravitationnelle, le plus souvent

On remonte 93% de l' âge de l' Univers

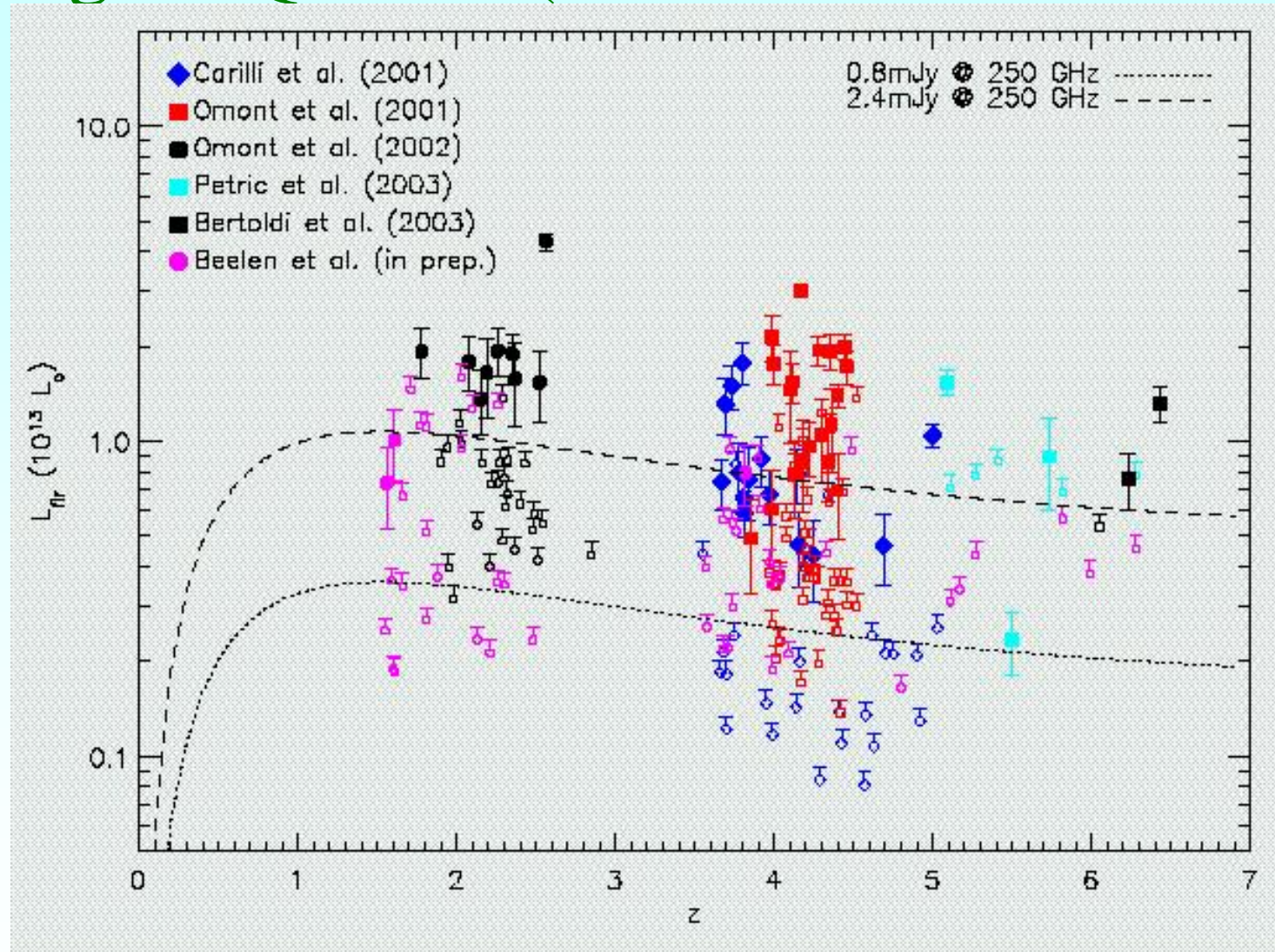
→ enrichissement très tôt en éléments lourds

Suivi des SMM: spectro Keck



SMM J2399-0136
Frayer et al (1998) CO(3-2)
 $z=2.808$
Genzel et al (2002) IRAM-PdB
Amplification de 2.5

High-z Quasars (30% détectés à z> 1.8)

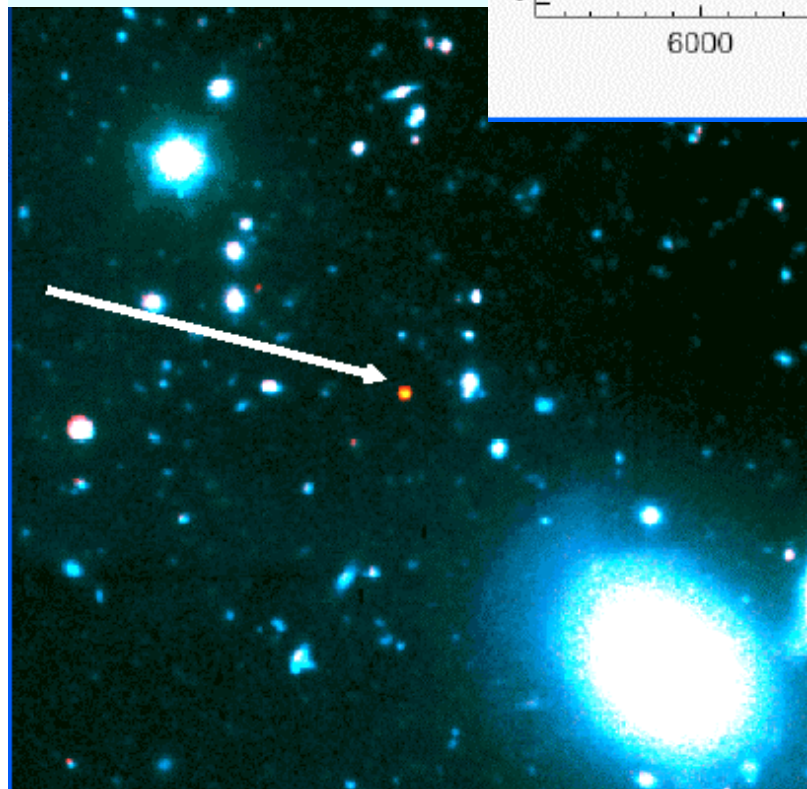
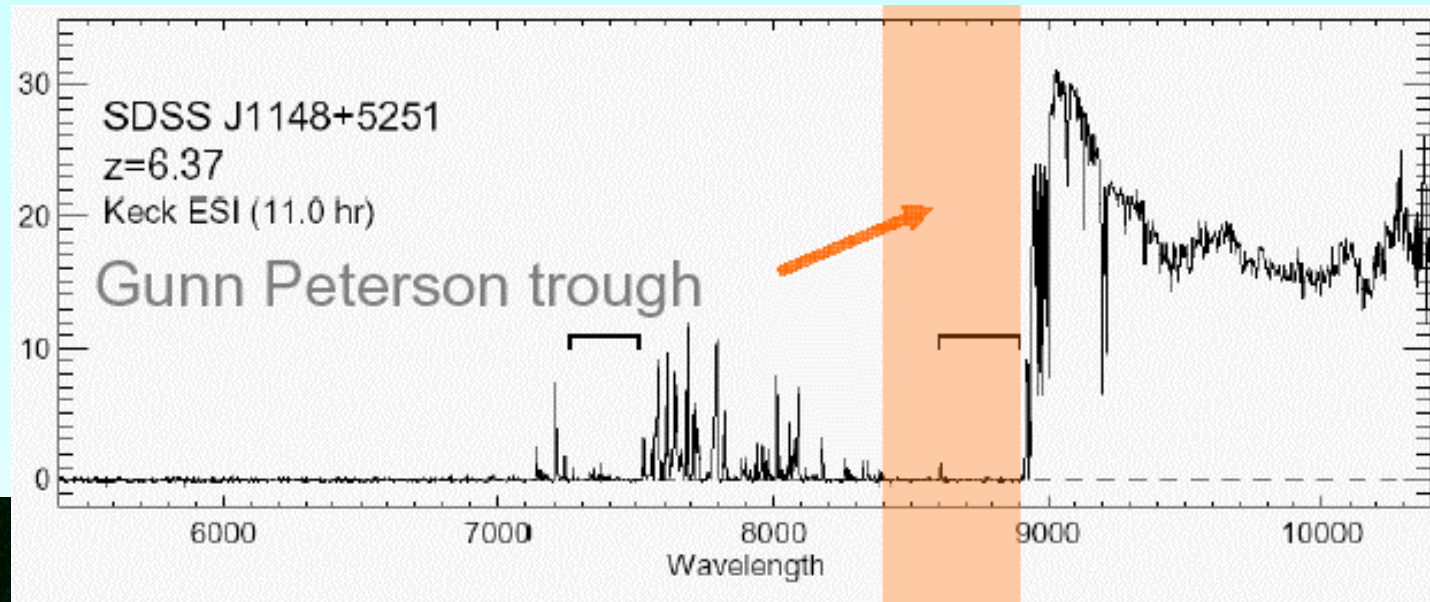


Beelen et al (2004)

The most distant QSO at z=6.4

Age ~ 1 Gyr

Keck z-band
Djorgovski et al

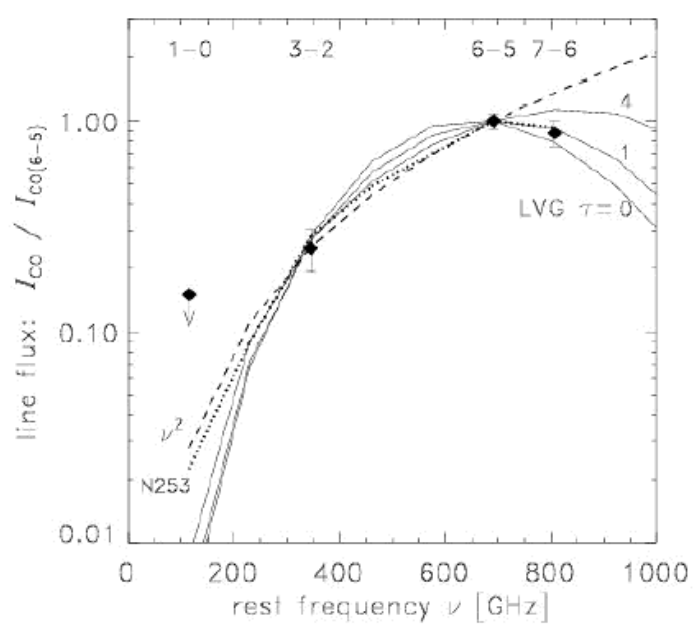
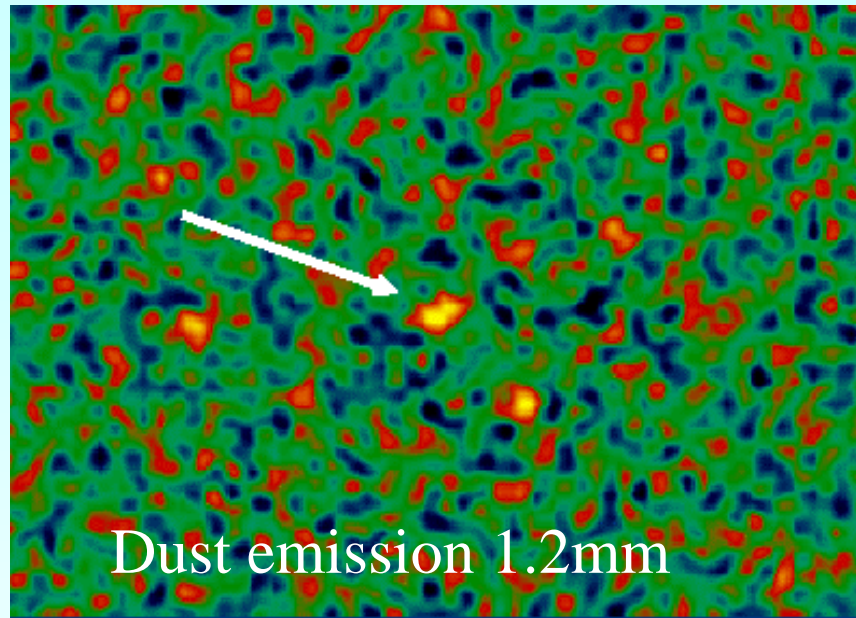


Fan et al 2003, White et al 2003

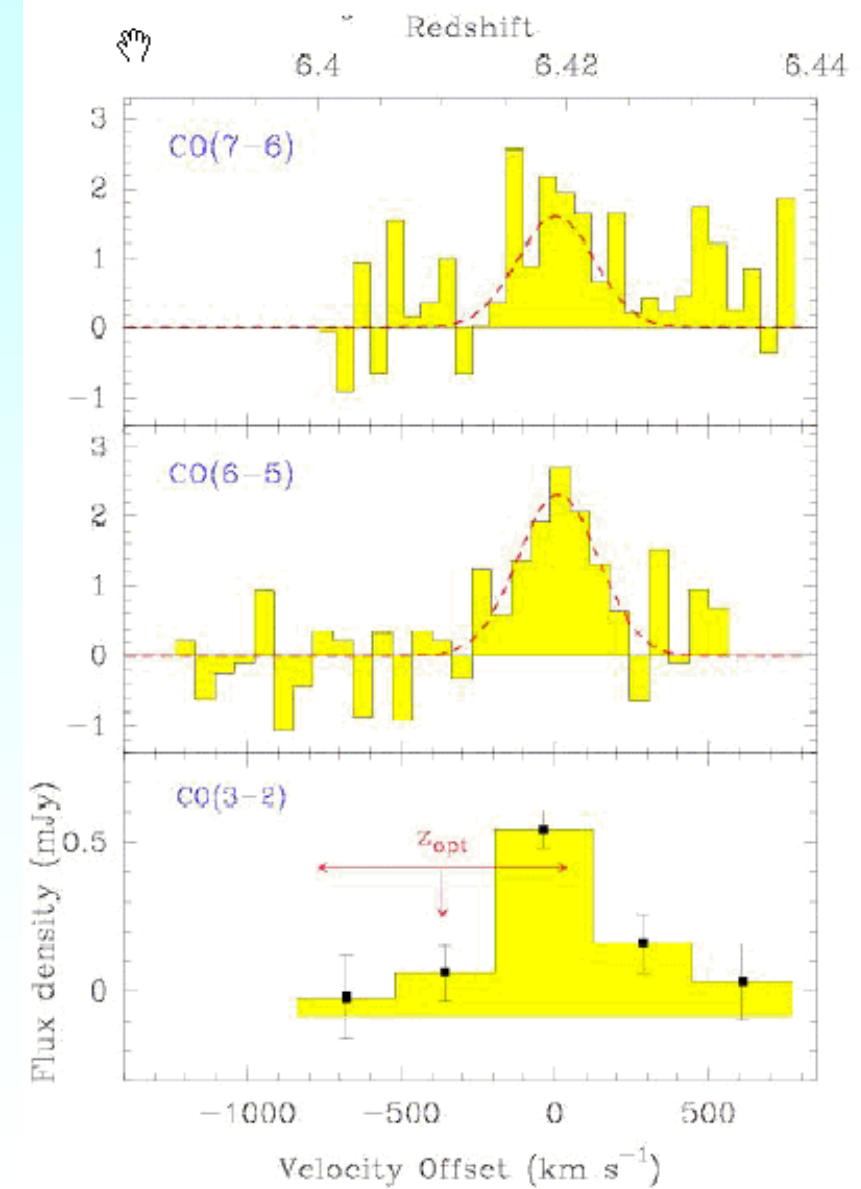
$M_{\text{dust}} \sim 10^8 M_{\odot}$ (Bertoldi et al 2003)
 $M_{\text{BH}} = 1.5 \cdot 10^9 M_{\odot}$ (Willott et al 2003)

SDSS 1148+5251 QSO z=6.4

$M = 2 \times 10^{10} M_{\odot}$ H₂

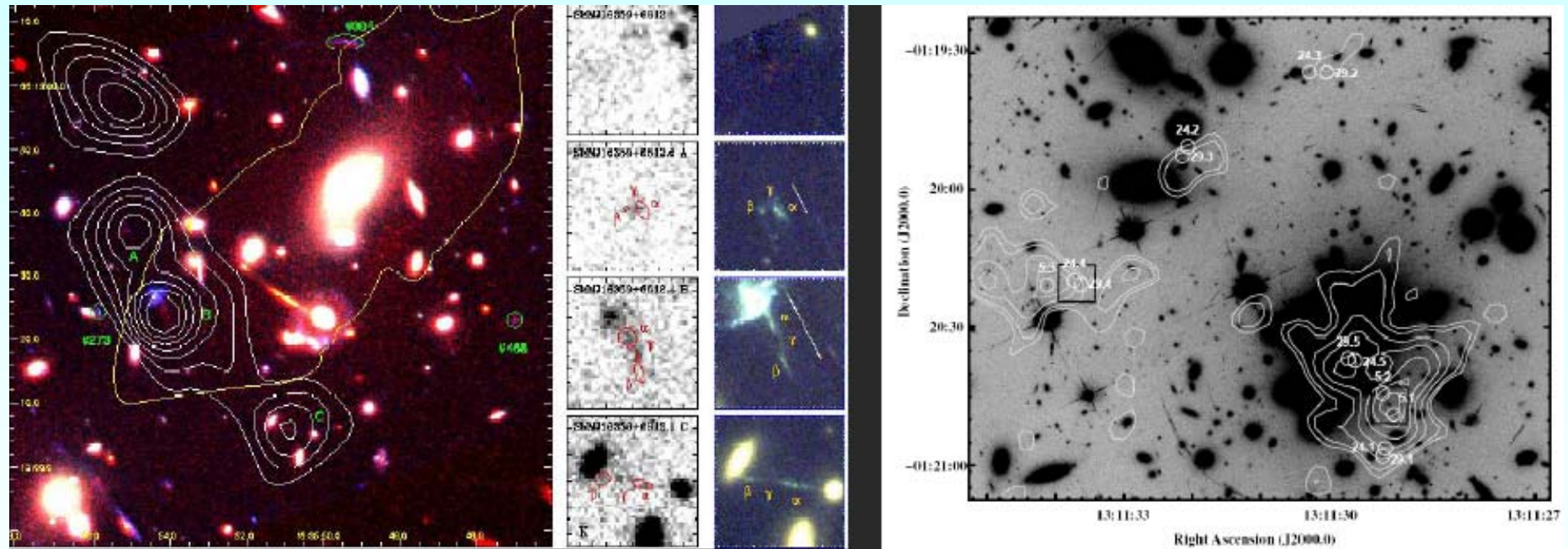


LVG
 $7 \times 10^4 \text{ cm}^{-3}$
T = 100K
-- N253



Use of the gravitational telescope

5 strong SMG, lensed with S(350GHz) < 1 mJy

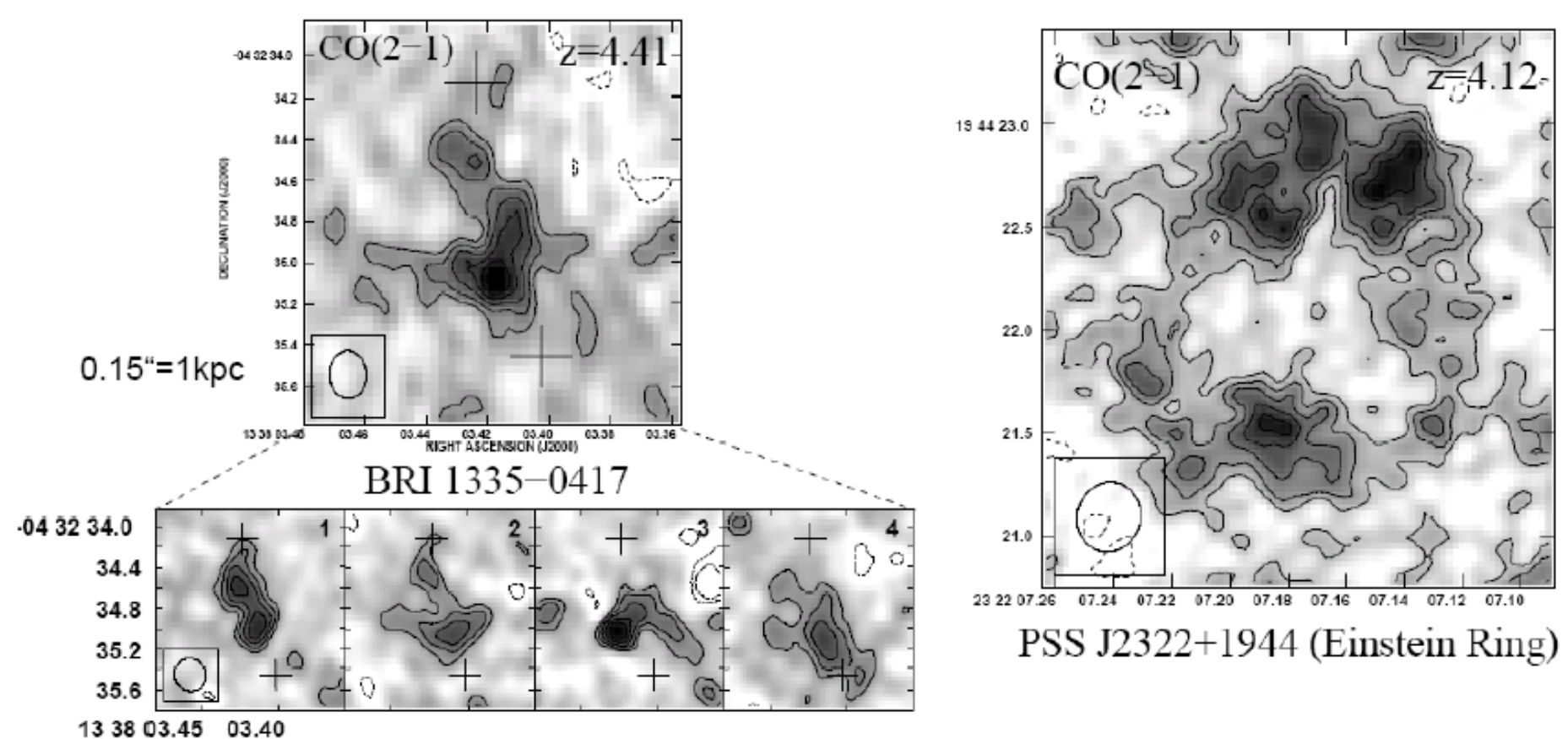


Abell 2218, Kneib et al 04

Knudsen et al 07

Molecular and atomic gas at sub-kpc scale

Mergers of galaxies



Riechers, Walter, Carilli et al 2007

Cosmic eye

LGB @ $z=3.07$ Plateau de Bure CO(3-2) detection

(only the 2nd LBG, after cB58)

$M_{H2} = 2.4 \cdot 10^9 M_{\odot}$ $M^* = 6 \cdot 10^9 M_{\odot}$ (Spitzer mid-IR)

SFR = 60Mo/yr life-time =40Myr

High-z analog of LIRGs

HST ACS

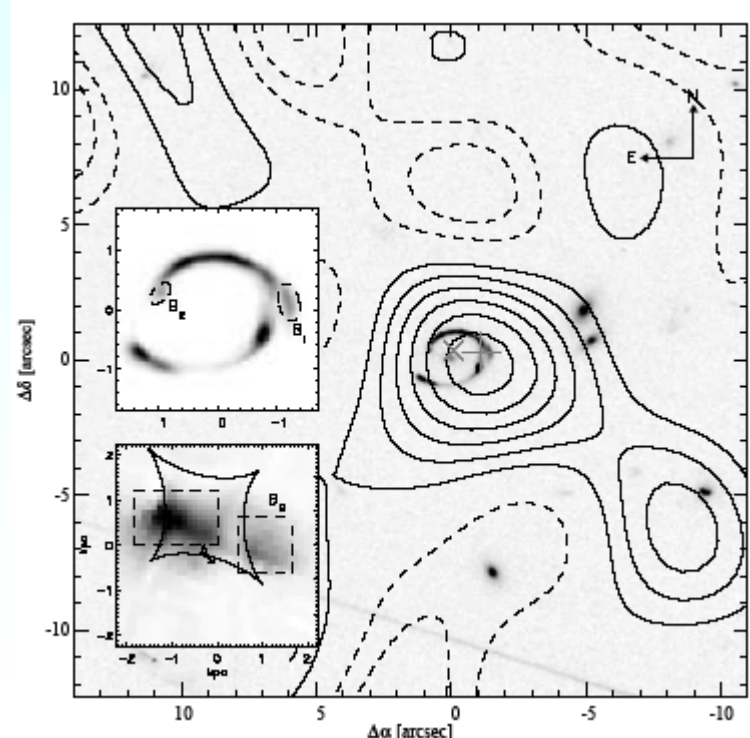
Magnification of 28

2 UV components, 3kpc apart

Coppin et al 2007

Dynamical mass $\sim 10^{10} M_{\odot}$

But inclination uncertain

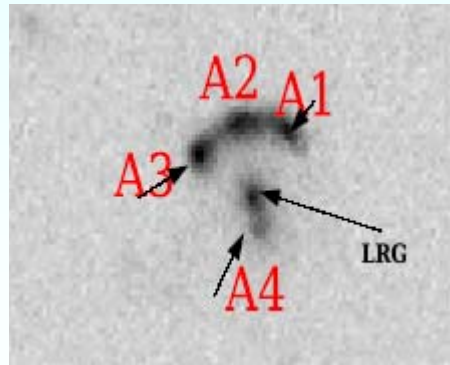


Star formation rate in LBGs

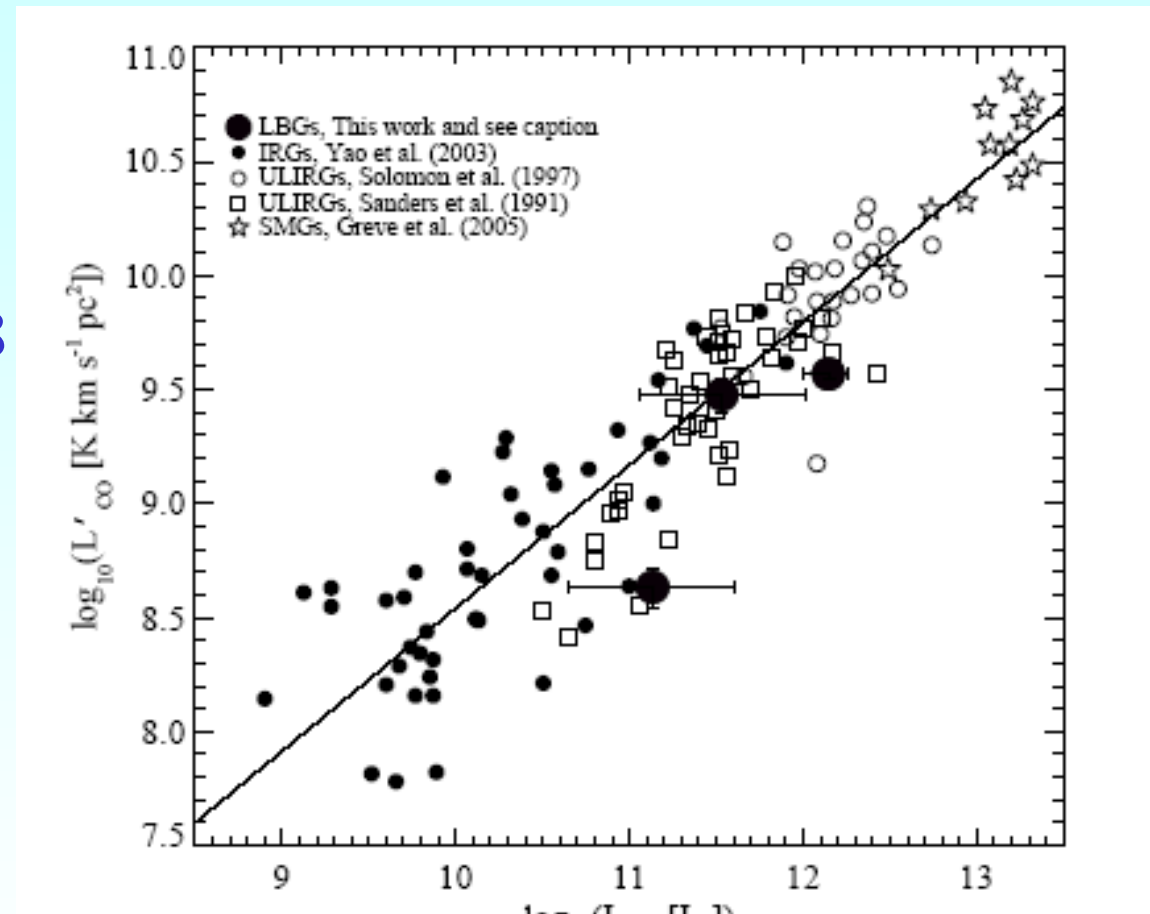
SFE ~140 Mo/Lo

LCO & gas mass
7 times higher than cB58

$z=2.73$



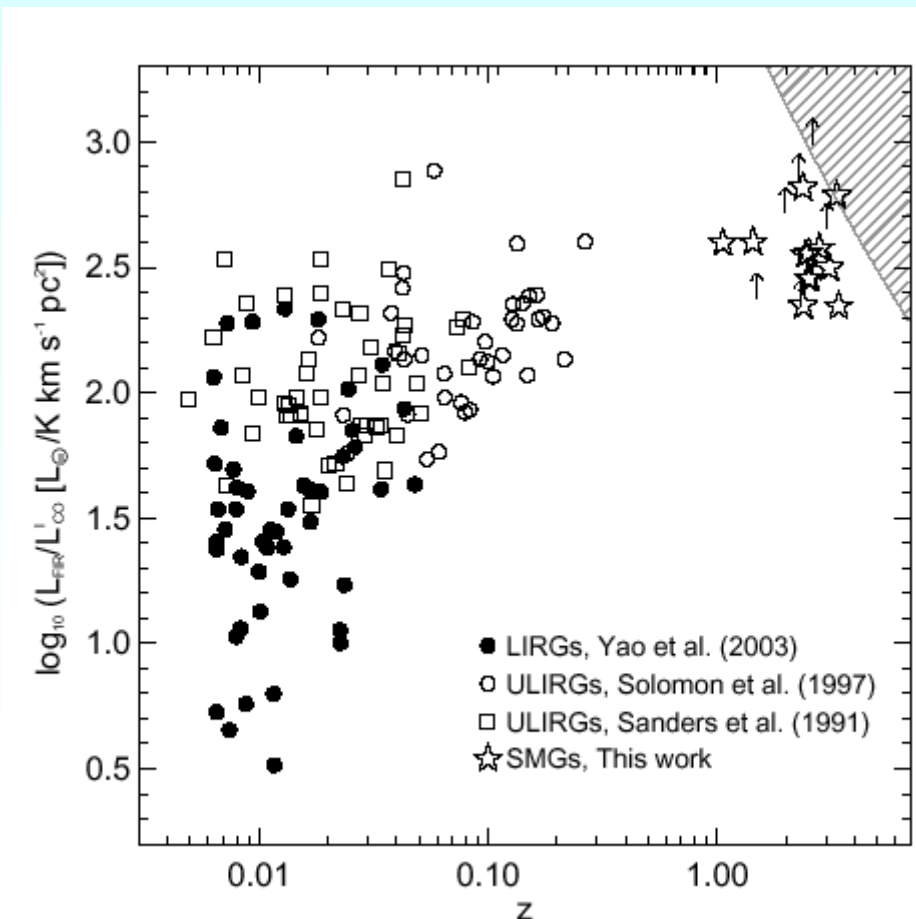
8 o'clock arc
Allam et al 2007



SMGs: Submillimeter Galaxies

Star formation efficiency $L_{\text{IR}}/L'_{\text{CO}}$ vs z

Greve et al 2005



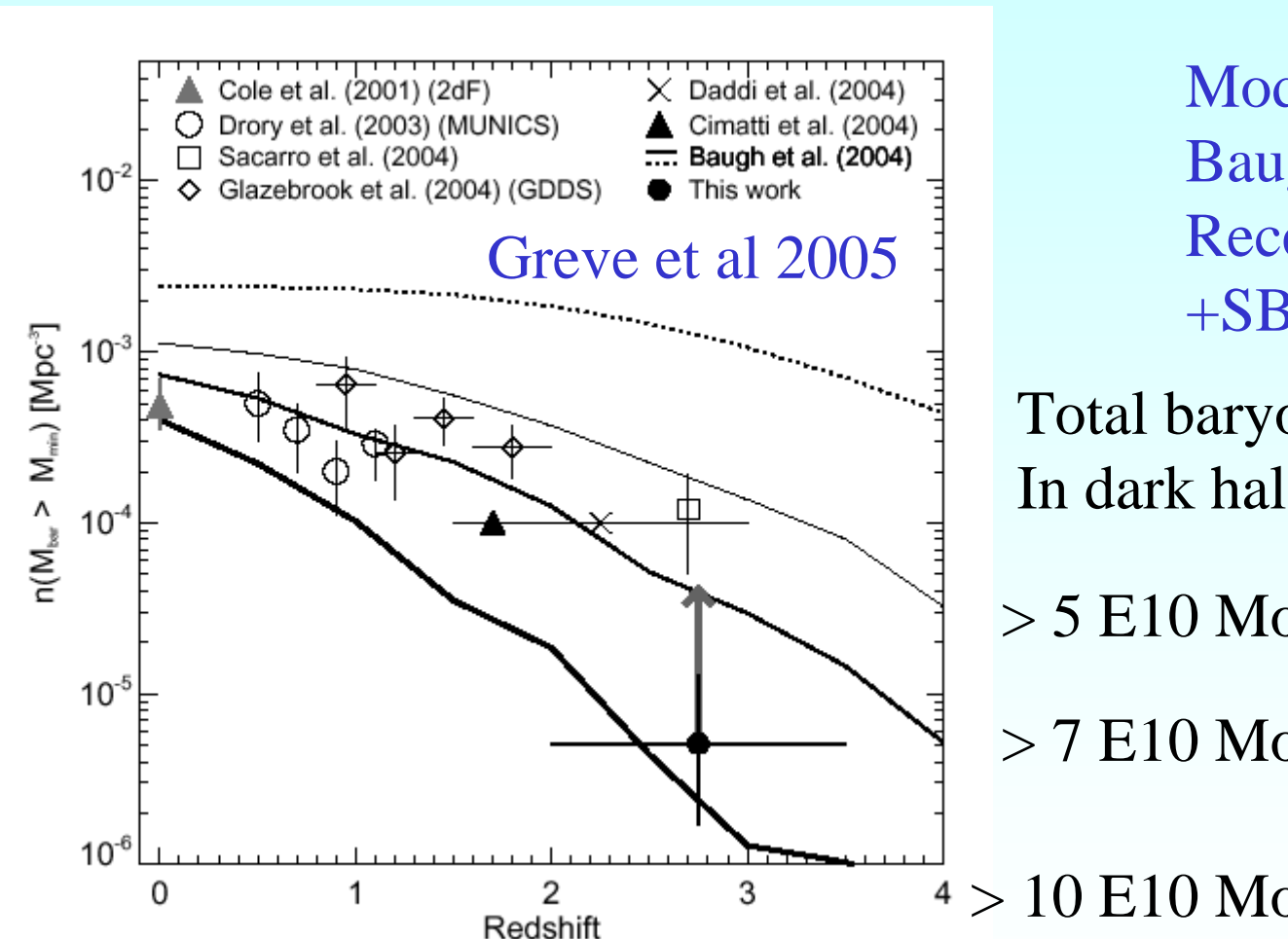
6 SMGs not
detected in CO

40- 200 Myr SB phase
SFR \sim 700 Mo/yr
More efficient than ULIRGs

Mergers without bulges?

Total masses \sim 0.6 M_*

Comoving number density of galaxies $M_{\text{bar}} > 6 \times 10^{10} M_{\odot}$



Models (Cole et al 01,
Baugh et al 04)
Recent top-heavy IMF
+SB at high z

Total baryonic mass
In dark halos $> 10^{11} M_{\odot}$

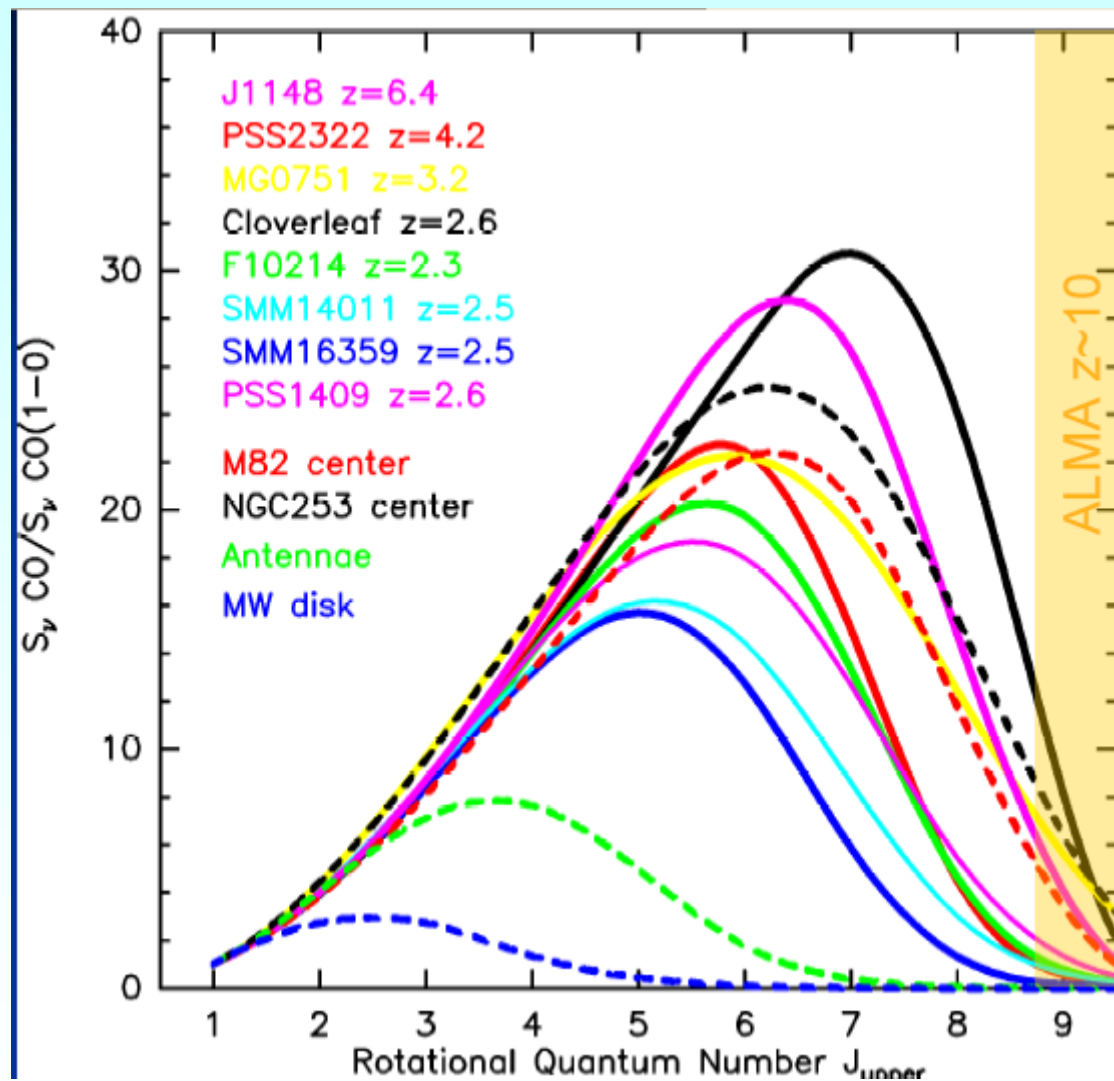
$> 5 \times 10^{10} M_{\odot}$

$> 7 \times 10^{10} M_{\odot}$

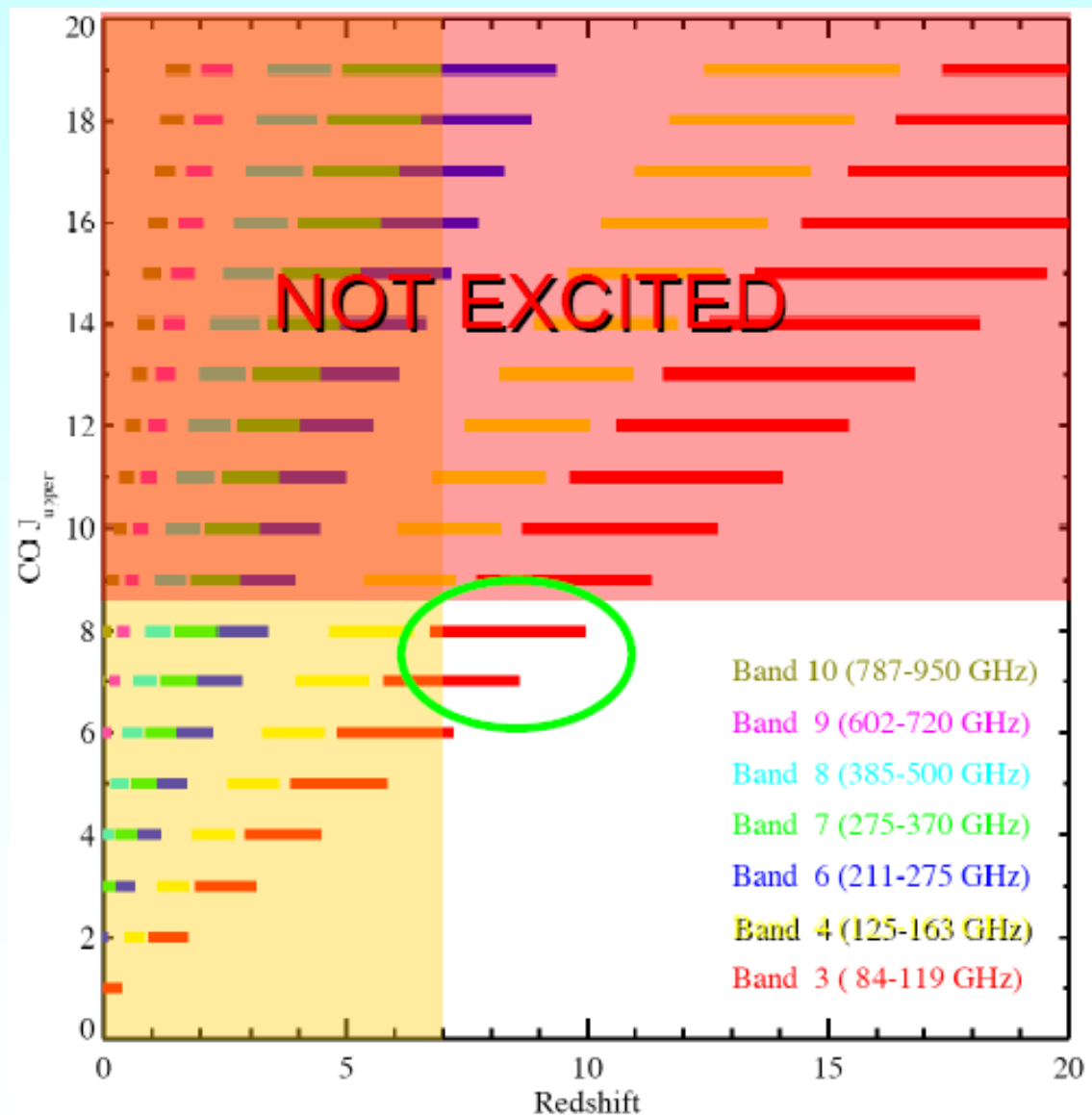
$> 10 \times 10^{10} M_{\odot}$

Compatible, if 10% baryons are rapidly converted into galaxies ²²

Excitation in high-z starbursts



$z > 7$ sources: ALMA CO discovery space



Other lines CII 158 micron, CI, NII...

Difficult to predict: how much ionised/neutral gas? Optical depth?

Nagamine et al 2006: (HIM), WNM, CNM-

Anyway, can be used at larger frequency. Less numerous than CO

Not optimum for a z-machine

Sensitivity: detection of CO lines of 300km/s at 300 GHz, of 0.3 mJy, i.e. 10^{-21} Wm^{-2} at 5σ in 1hr with ALMA,

Lines spaced by 33GHz (if $z=2.5$), so about one source per arcmin 2 , with a bandwidth of 16 GHz

With a primary beam of 0.15 arcmin 2

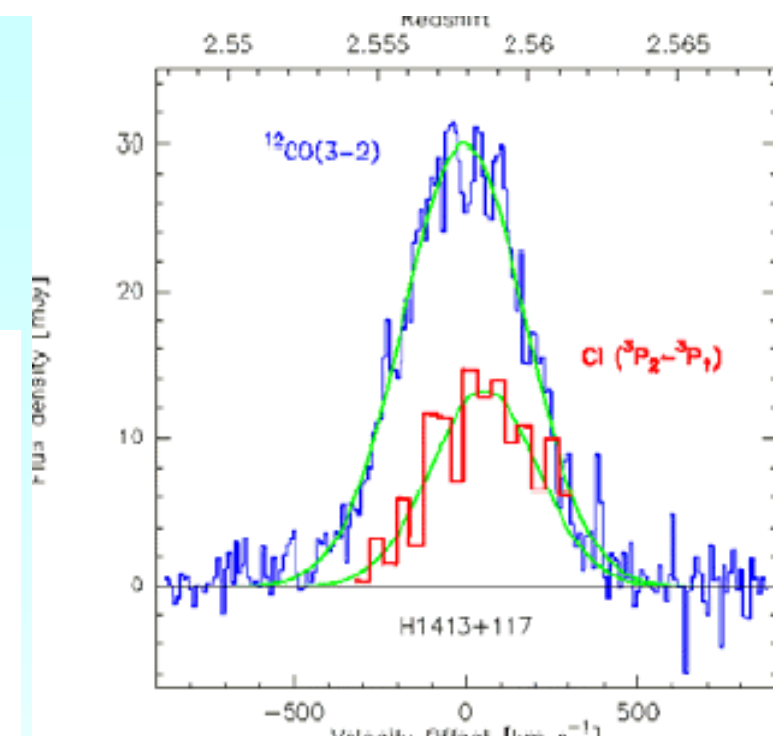
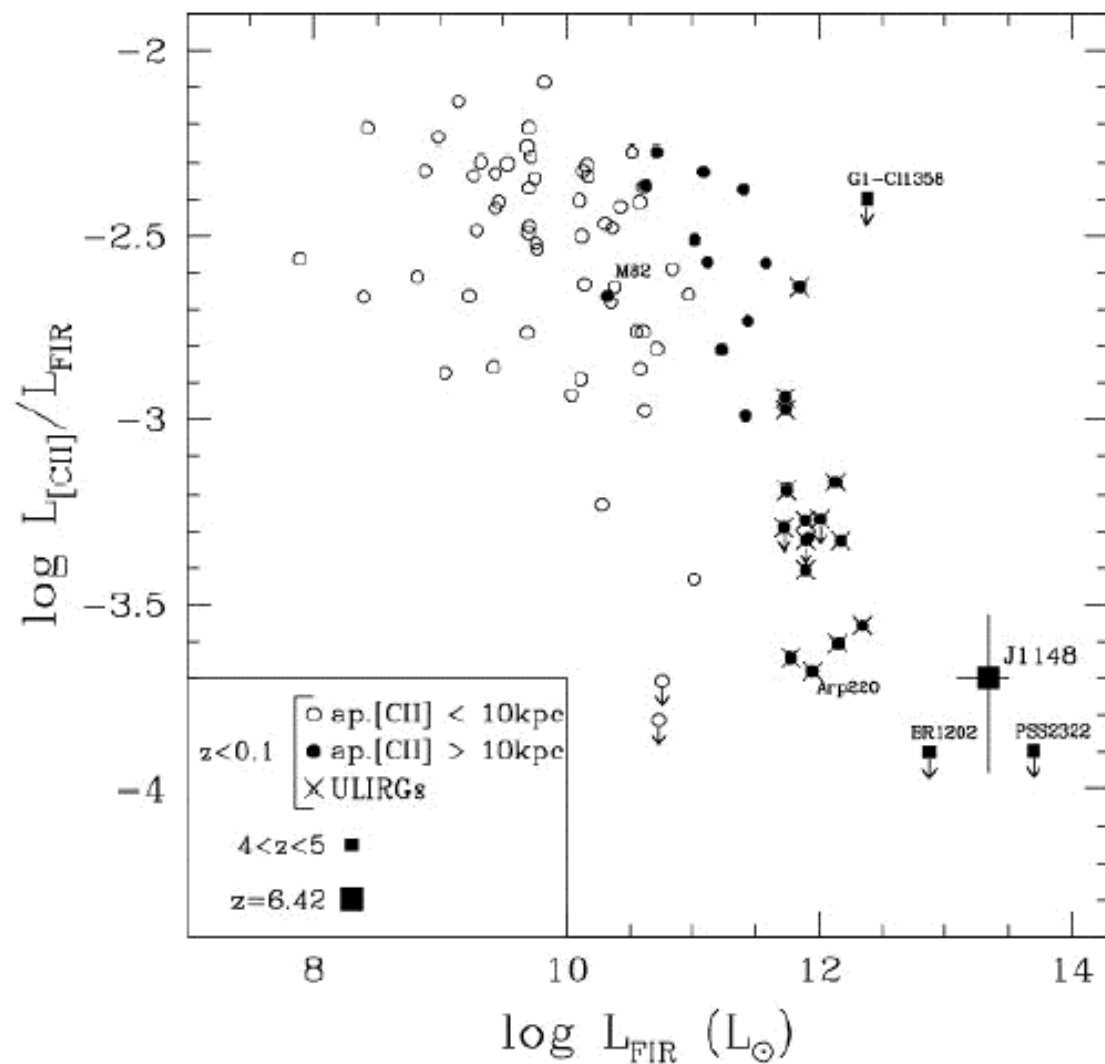
→ Large mosaics should be done

Most will be detected at $z=1-3$, so at 1mm for CO54-CO98

Might be better to go to even lower frequency

$$\text{CI}/\text{H}_2 \sim 10^{-5}$$

$\text{CII/LFIR} \sim 0.06\%$,
10 times less than locally



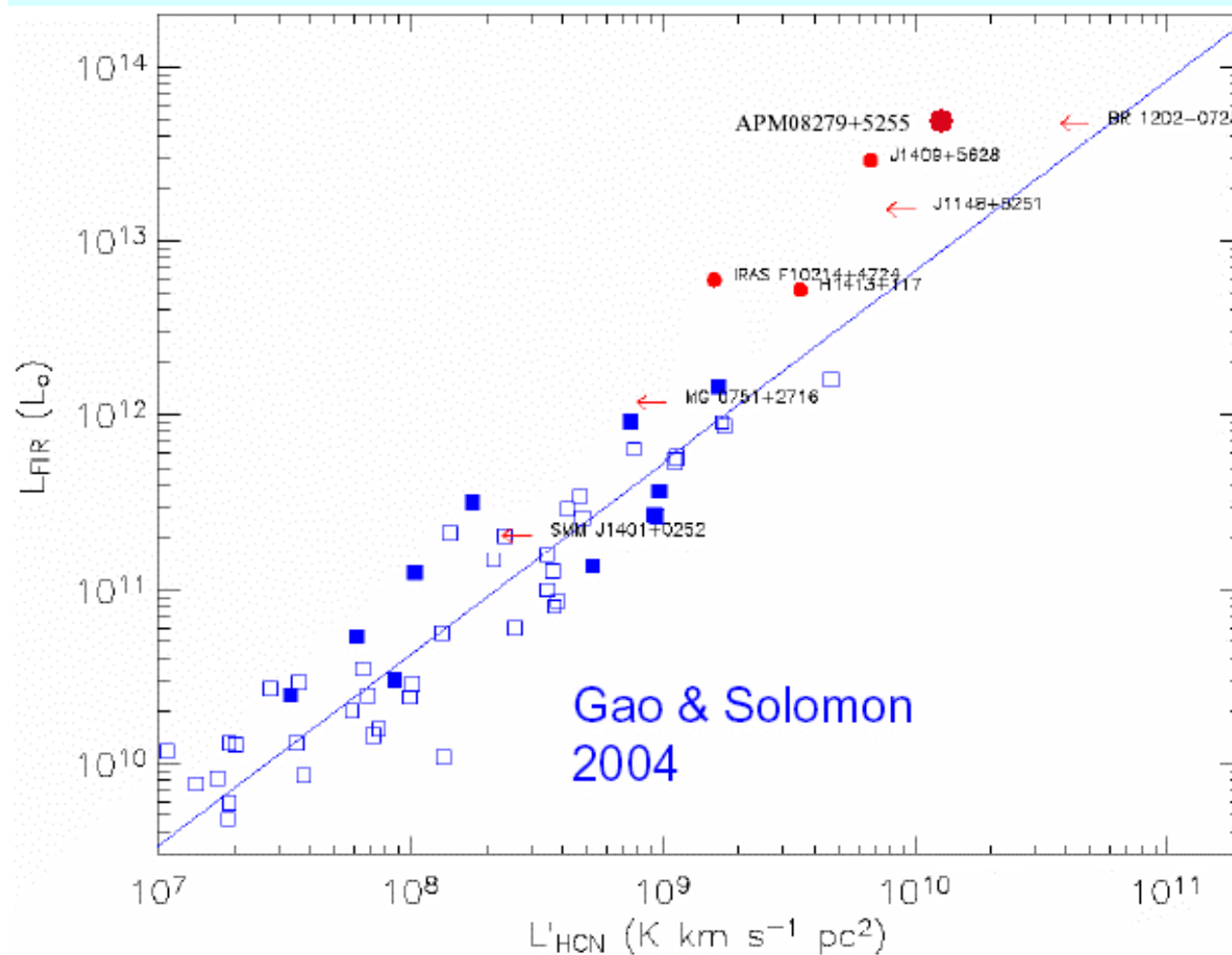
Cloverleaf

CII detected in
J1148 QSO at IRAM

High density tracers

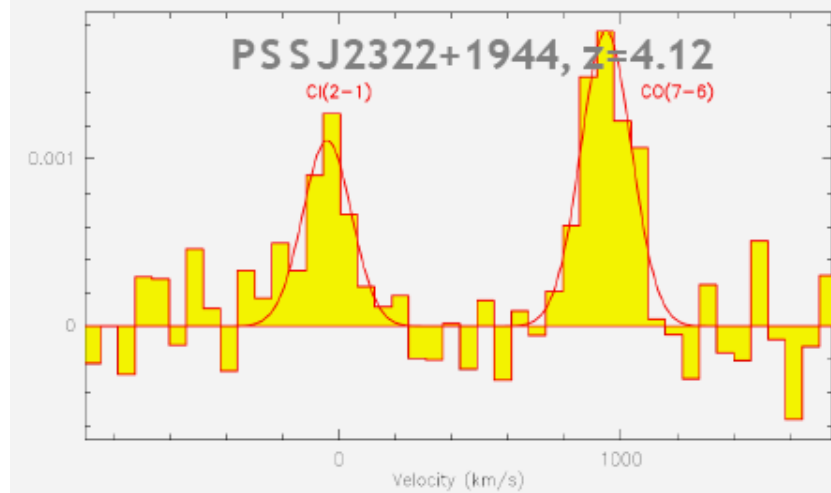
HCN appears better correlated to star formation than CO

CI is detected, CII is proportionally weaker in ULIRGs

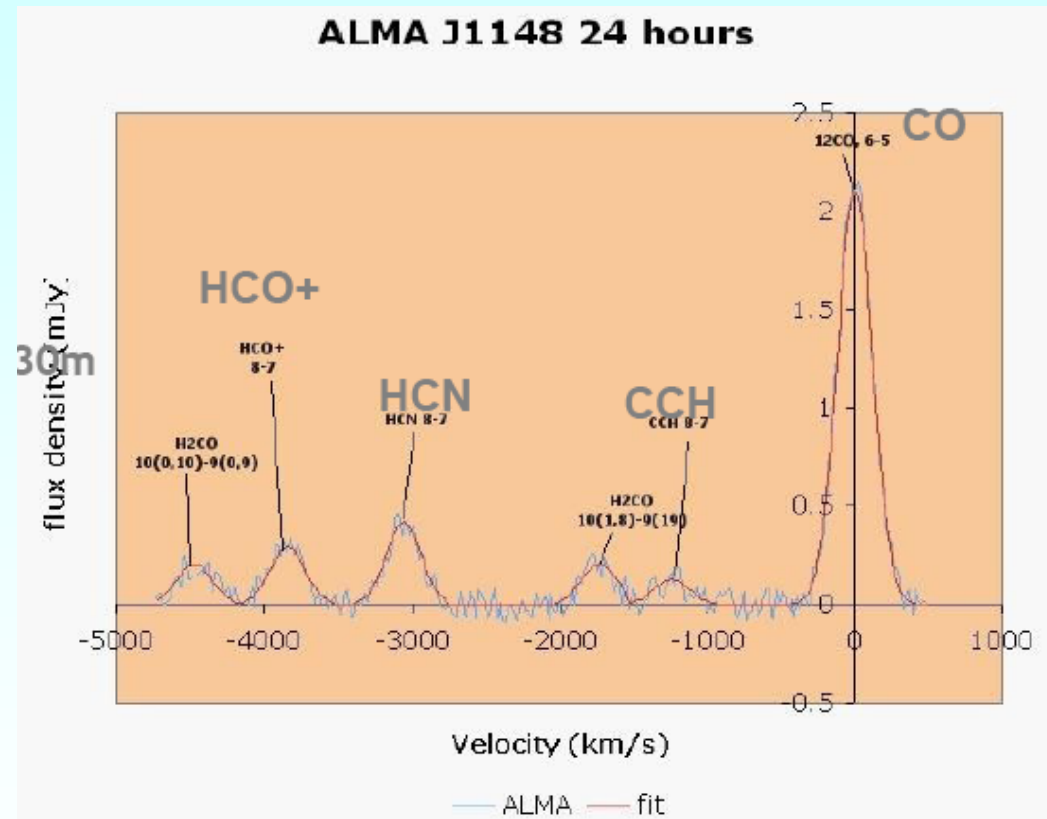


Molecular surveys

TODAY



TOMORROW



ALMA prediction

Cartographier les grandes structures et l'environnement des SMGs

Avec APEX, survey @870μm

→ COSMOS 2deg² à rms=2mJy: 300-600 sources avec S/N>4

→ 20x20 armin² au niveau de confusion, 0.5-07mJy: 200-400 sources

Plus profond avec SCUBA-2 @450μm, CCAT 200/350μm (25m)

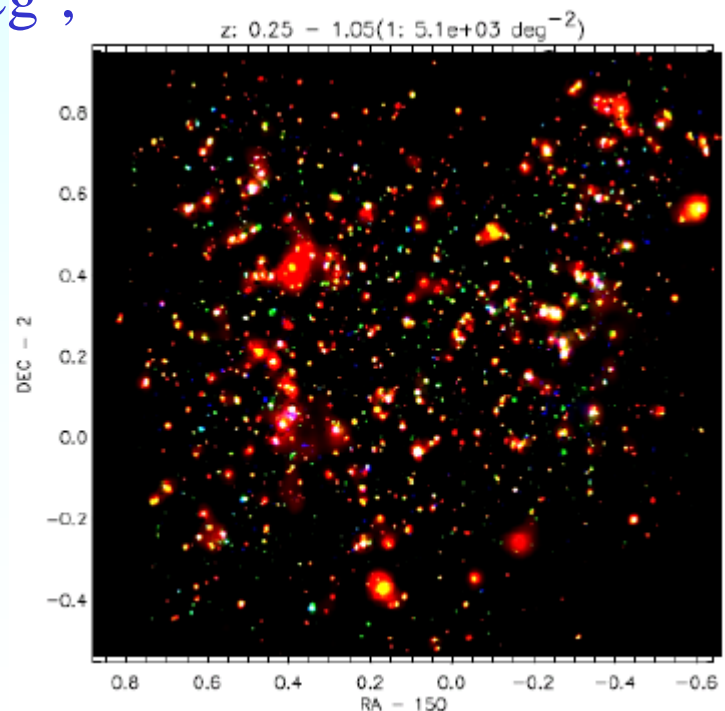
ALMA rms=50μJy N (>0.2mJy) = 60 000/deg²,
870μm FoV 19"

1h 1 armin²: 20sources

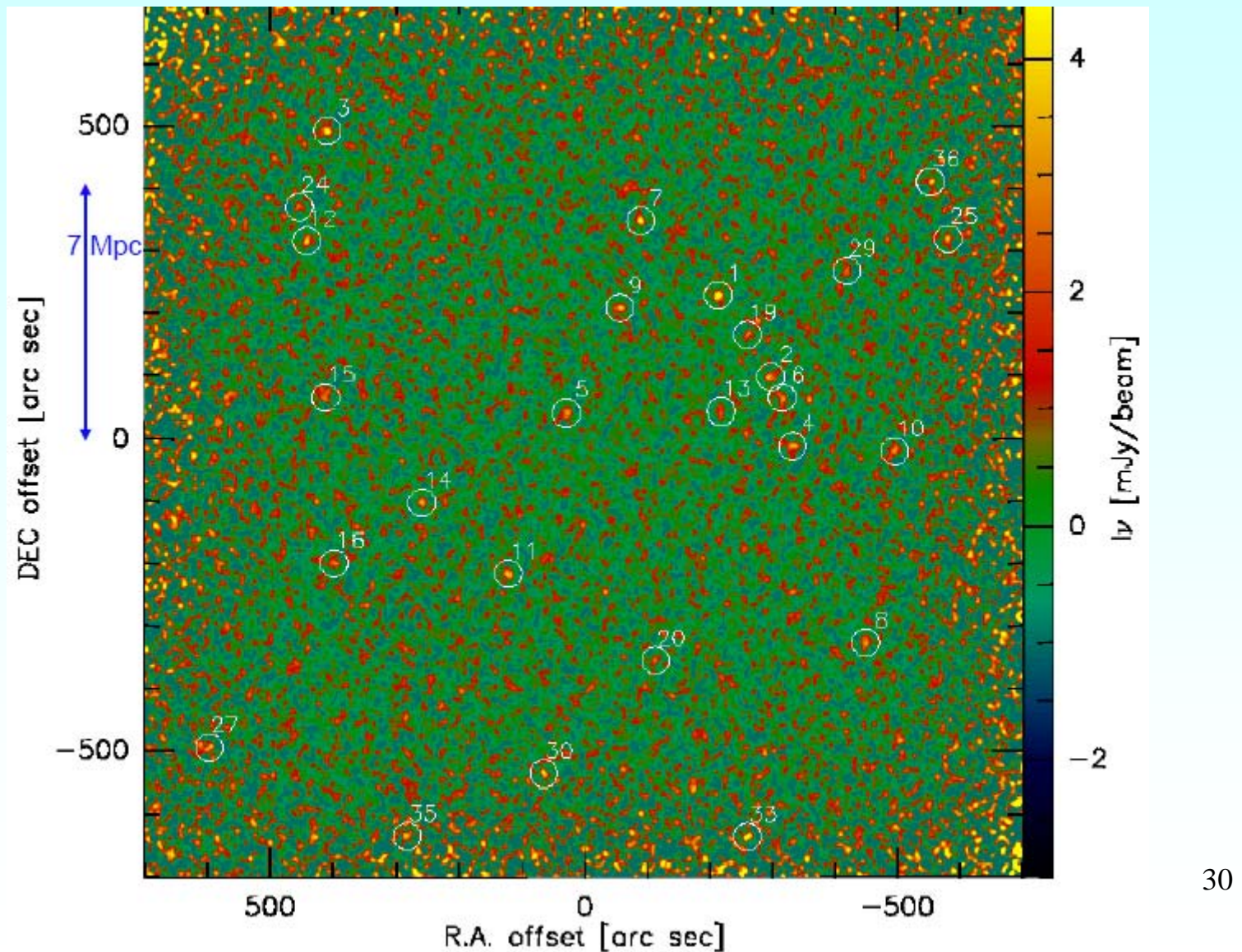
1an = 1sqdeg

Certainement plusieurs plus petites régions

COSMOS: overdensités
z=0.25-1.05

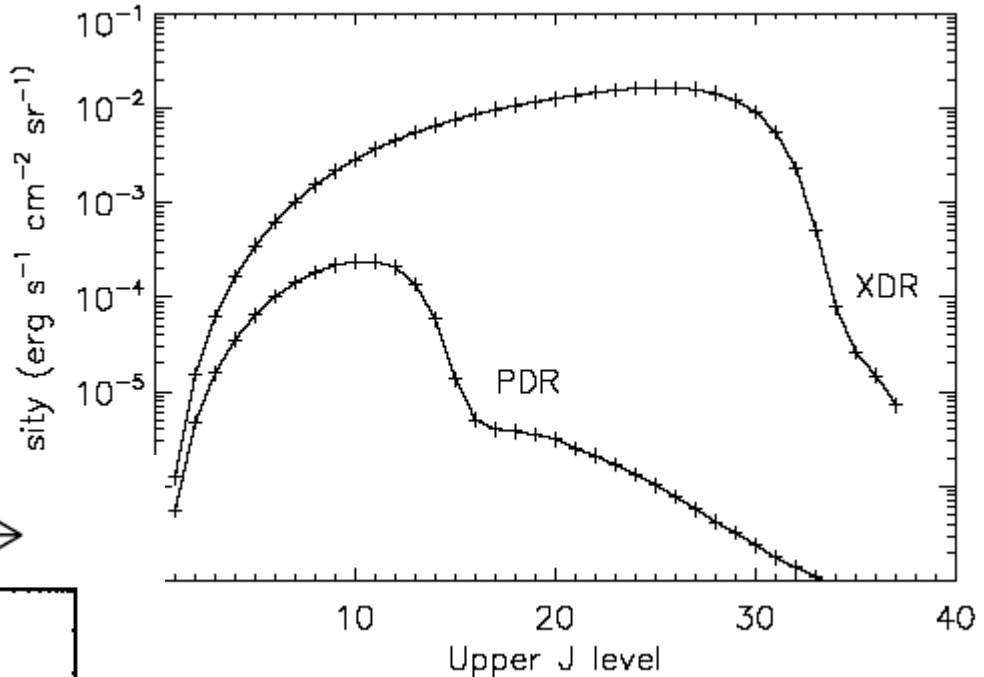
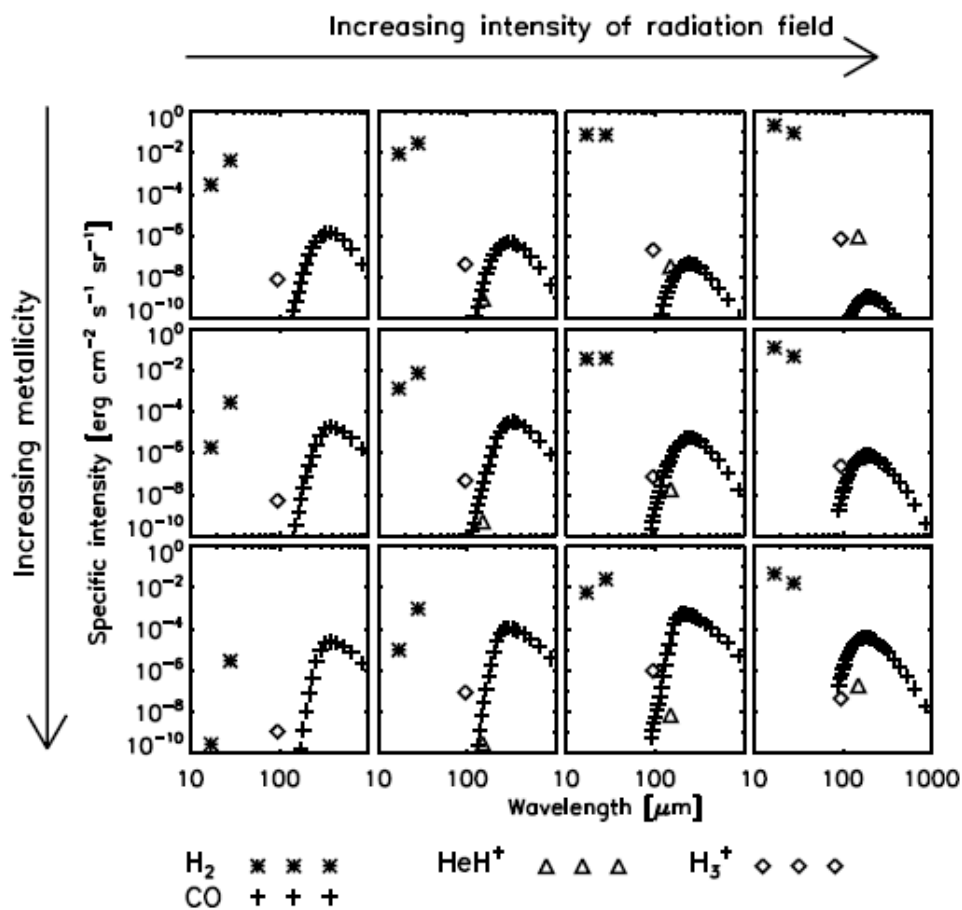


MAMBO 1.2mm survey of COSMOS



CO & H₂ lines for AGN at z ~10

Spaans & Meijerink 2008
 H₃⁺ 95μm, HeH⁺ 149μm



100K < T_{gas} < 1000K
 Eddington limit for AGN > 10⁶M_o
 CO from J=15 (170μm)
 H₂ S(0) 28μm, S(1) 17μm

5 < z < 20
 10²²-10²⁴ cm⁻²
 n ~ 10³-10⁵ cm⁻³

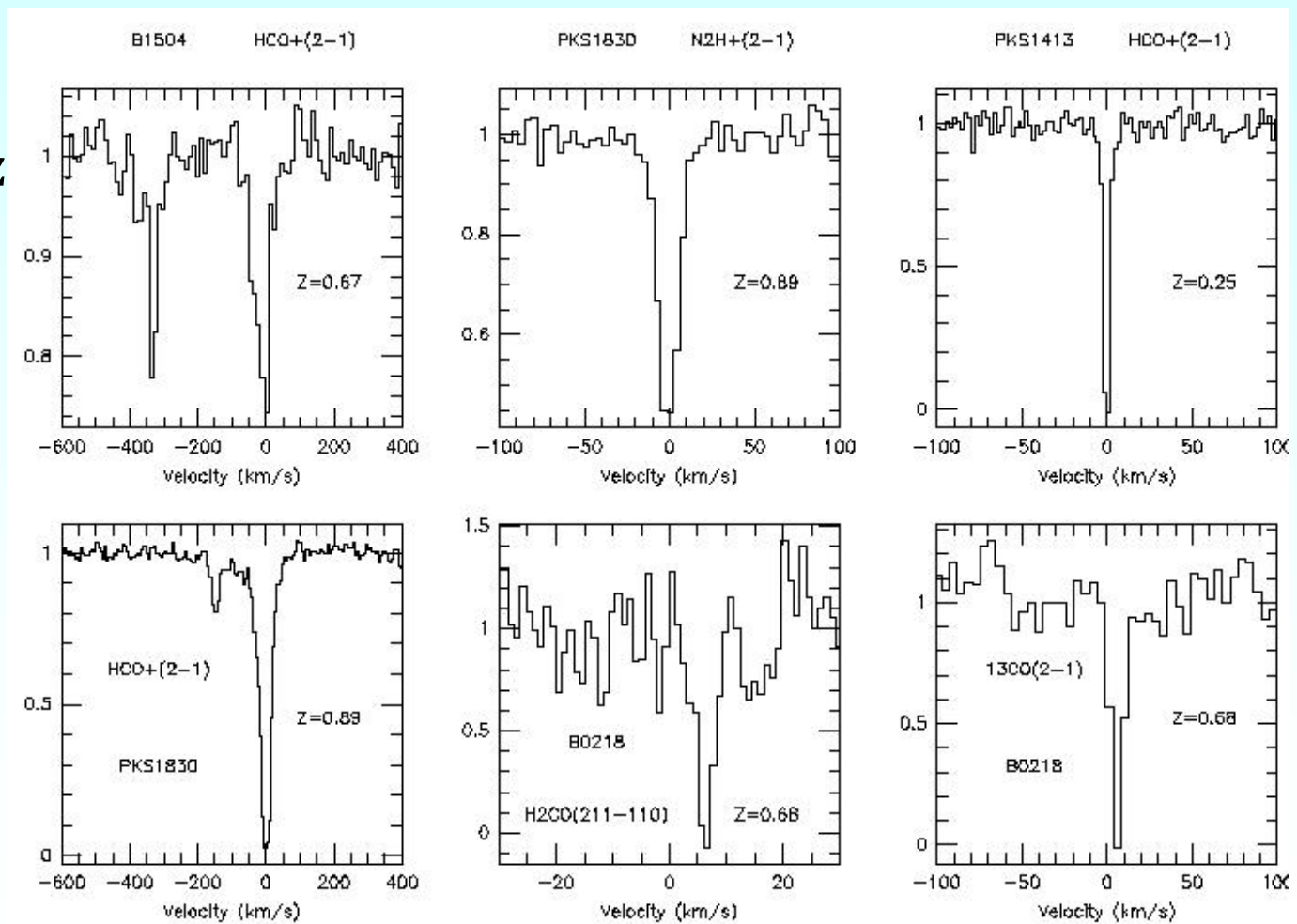
Molecular Absorptions

Up to now, only 5 systems: PKS1413, B3 1504 (self-abs)
B0218, PKS1830, PMN J0134 (OH): gravit lenses
+ local: CenA, 3C293 (0.045), 4C 31.04 (0.06)

Chemistry @ highz
Variations of cst

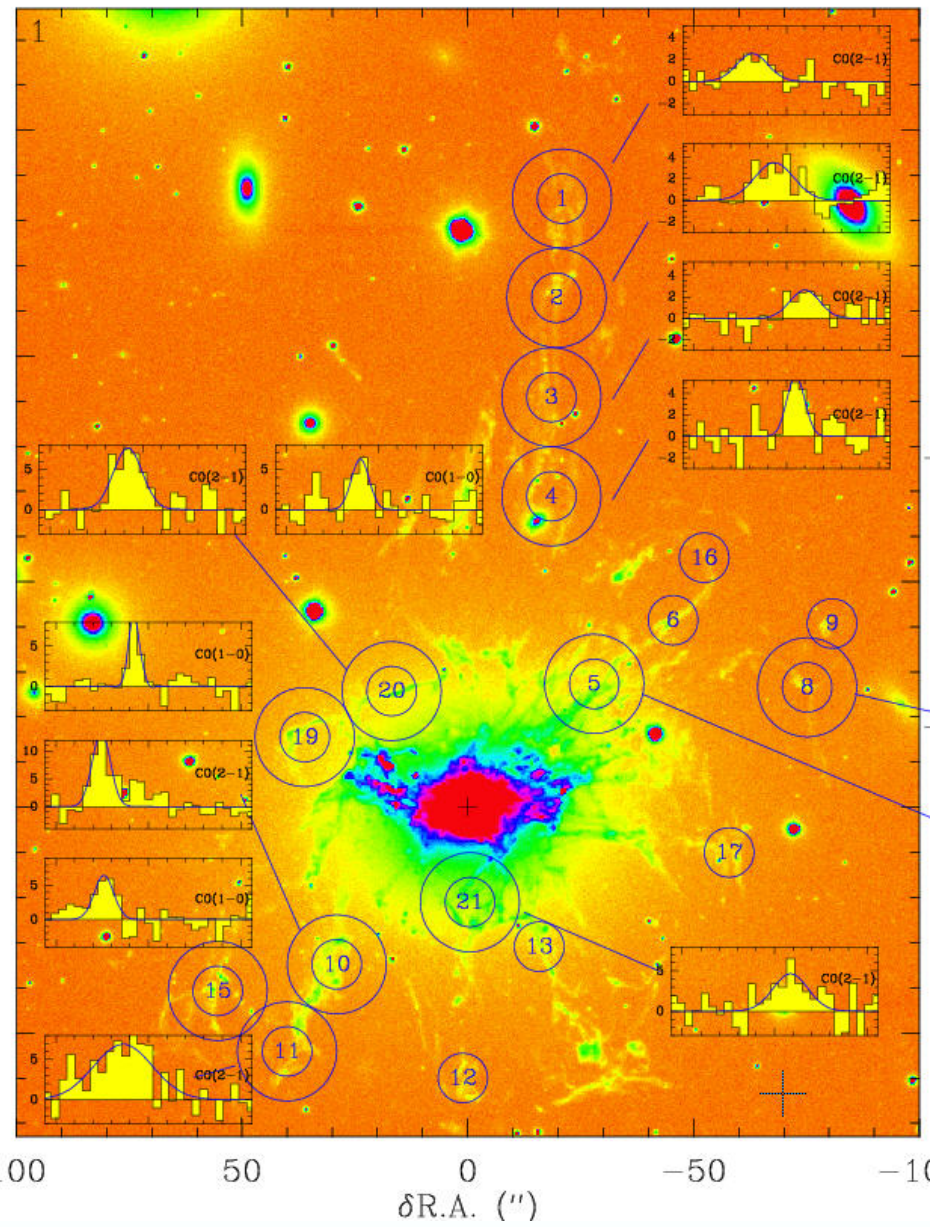
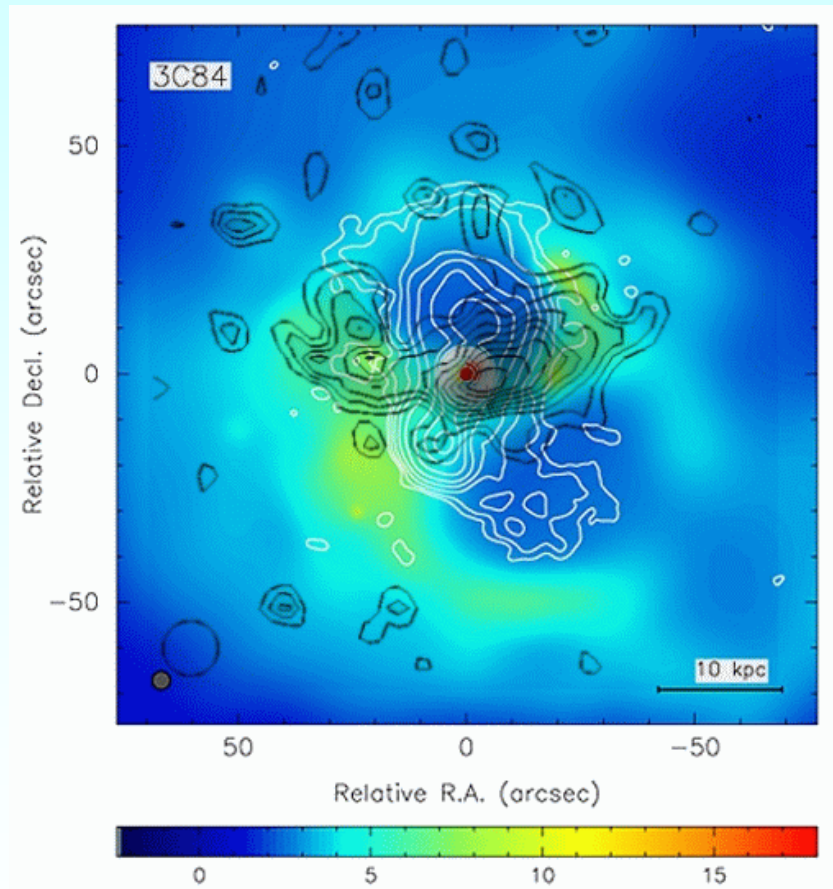
~ 30-100 times
more sources
with ALMA?

Combes & Wiklind 1998



Cooling flows

Salome et al 2006, 2008



Perseus A, nearby

Conclusions

- ALMA deep field en continuum: $N(S)$ taux de formation d'étoiles (z)
- Les raies CO pourront être observées à grand z avec ALMA
- Beaucoup plus d'information que le continuum: **masse** de H_2 dans la galaxie, l'**efficacité** de formation d'étoiles en fonction du redshift, la **cinématique**
- Information complémentaire à l'optique, où la largeur de raies ne reflète pas la masse totale (outflows, extinction..)
- **Matière noire en fonction du redshift:** études de galaxies individuelles avec MUSE+JWST + ELT-30m + ALMA et études statistiques, avec loi de Tully-Fisher